

Un método de calibración de sensores inerciales

Paula Pérez López

Tutor: Andrei Martínez Finkelshtein



Titulación: Máster en Matemáticas
Fecha de defensa: 23 de julio de 2015

Índice general

1. Introducción	5
2. Conocimientos Previos	9
2.1. Presentación WIMU	9
2.2. Sensores	11
2.3. Errores de los sensores	14
2.4. Rotaciones y transformaciones en el espacio	18
2.4.1. Cambio de coordenadas en un espacio vectorial	18
2.4.2. Cambio de coordenadas en un espacio euclídeo	19
2.4.3. Ángulos de Euler	22
2.4.4. Rotaciones en \mathbb{R}^3 . Cuaterniones	23
2.5. Regularización.	28
2.6. Problemas de mínimos cuadrados no lineales	31
2.6.1. Algoritmo de Levenberg-Marquardt	33
2.7. Algoritmo de Nelder-Mead	34
3. Calibración del acelerómetro	39
3.1. Periodos estáticos y similitudes	42
3.2. Algoritmo	44
4. Calibración del giroscopio	49
4.1. Algoritmo	51
5. Resultados experimentales	55
6. Líneas de trabajo futuro	63
A. Código Matlab	65
A.1. Calibración del acelerómetro y del giroscopio	65
A.1.1. Funciones necesarias para la calibración del acelerómetro	69
A.1.2. Funciones necesarias para la calibración del giroscopio .	74

Capítulo 1

Introducción

Este trabajo surge de una colaboración con la empresa *Realtrack Systems*, creadora del dispositivo *WIMU*, con el objetivo de mejorar la precisión en los datos proporcionados por los sensores que lo constituyen.

WIMU es un dispositivo para deportistas, cuyas características veremos en la sección 2.1, que integra una unidad inercial de medida (IMU). Esta unidad de medida consiste en una combinación de diferentes tipos de sensores inerciales, generalmente y en el caso de *WIMU* en concreto, acelerómetros y giroscopios que se utilizan en navegación inercial para determinar la posición de un objeto.

Los sensores inerciales que componen estas unidades de medida inerciales están basados en tecnología microelectromecánica o MEMs. Esta tecnología se caracteriza por su pequeño tamaño y la disminución de su precio respecto al de sensores anteriores.

Esta miniaturización y la disminución en el coste de los sensores han permitido que tengan una gran aplicabilidad en muchos sectores de la ingeniería. Sin embargo, también va acompañado de una pérdida en la precisión de los datos proporcionados por los sensores y es ahí, donde surge la necesidad de realizar algoritmos de calibración que traten de conseguir mejores resultados. Los errores que aparecen en los datos, tanto en el acelerómetro como en el giroscopio, son fruto de condiciones externas e internas al propio sensor. La descripción de estos errores se detallará en la sección 2.3, pero fundamentalmente los errores que se tratarán de corregir en este trabajo son errores de ortogonalidad de los ejes de coordenadas, así como de sesgo y de cambio de escala.

La calibración de los sensores se basan en dos ideas fundamentales.

En primer lugar, para la calibración del acelerómetro nos basamos en que el módulo del vector de las mediciones que proporcione el sensor durante los periodos de tiempo en los que se encuentre estático ha de ser igual a la fuerza de la gravedad, [11]. Esta afirmación es clara, puesto que cuando un cuerpo está en reposo, la única aceleración que actúa sobre el mismo es la gravedad. En segundo lugar, para la calibración del giroscopio se utilizará que el vector de gravedad proporcionado por el acelerómetro calibrado ha de ser el mismo que el vector de gravedad calculado al integrar las velocidades angulares proporcionadas por el giroscopio.

Estos principios los podemos encontrar en trabajos anteriores como [12],[9], [13].

En el algoritmo que se propone en este trabajo para calibrar el acelerómetro se utilizará un detector de periodos estáticos, [9]. Este detector nos permitirá conocer los periodos en los que los sensores están en reposo, de forma que podamos aplicar la idea fundamental planteada anteriormente. Así, durante estos periodos será cuando se tomen los datos necesarios para realizar la calibración.

Además, con el objetivo de adecuar la calibración de la mejor forma posible a los datos proporcionados se introduce un bloque para detectar similitudes entre distintos bloques estáticos contiguos. Esto nos va a permitir realizar una calibración conjunta en los tramos en los que los bloques estáticos contiguos sean similares y una calibración individual en aquellos en los que los errores a los que están sometidos los datos difieran más de los errores habituales.

Otra propuesta que se expone en este trabajo consiste en añadir un factor de regularización a la función objetivo que hemos de minimizar para obtener los errores de ortogonalidad, de cambio de escala y de sesgo presentes en los datos.

El motivo por el que se ha decidido introducir este factor de regularización es que se ha de afrontar un problema de mínimos cuadrados no lineales. Estos problemas se caracterizan por tener numerosos mínimos locales que no son mínimos globales, lo que supone un gran inconveniente a la hora de obtener el mínimo adecuado. Y este hecho, con los datos experimentados utilizados, es especialmente agudo.

Así, el factor de regularización permitirá que el algoritmo de minimización utilizado encuentre con más facilidad el mínimo adecuado, especialmente cuando los datos sean más homogéneos y cercanos a los datos ideales. Entendiendo por datos ideales aquellos que están libres de errores.

Estas propuestas las encontraremos en la sección 3 donde se explicará con detalle el problema a solventar y se planteará un esquema del algoritmo

implementado en *Matlab* con el que se han realizado las pruebas experimentales.

A continuación y con una estructura similar se desarrolla el problema de calibración del giroscopio y se muestra un esquema del algoritmo implementado para la calibración del mismo.

Previamente, en la primera sección se recogerán los conocimientos necesarios para el planteamiento del problema de calibración en ambos tipos de sensores, así como para la creación del algoritmo.

Capítulo 2

Conocimientos Previos

2.1. Presentación WIMU

WIMU es un dispositivo inalámbrico compuesto por una serie de sensores que monitoriza la actividad física proporcionando información relevante de forma continua y en tiempo real.

Entre la información proporcionada destacan algunas variables cinemáticas como aceleración, velocidad o distancia recorrida y algunas variables fisiológicas como frecuencia cardiaca. Además, la empresa Realtrack Systems ha desarrollado un software llamado QÜIKO con el que procesar todos los datos, permitiendo trabajar con la información, tanto en tiempo real desde un dispositivo móvil como a posteriori.



Figura 2.1: Imagen dispositivo WIMU.

La utilización de este dispositivo está enfocado a entrenadores físicos, médicos, terapeutas, etc, encargados de mejorar la actividad física y competitiva

de deportistas de élite.

Los datos proporcionados por WIMU son recogidos por los siguientes componentes:

- *GPS/Galileo de 5 Hz.* Es decir, proporciona 5 datos por segundo y da información acerca de la posición, velocidad, distancia, etc.
- *Acelerómetro 3D, 1000Hz a 2G.* Es decir, recoge 1000 datos por segundo de fuerzas de hasta dos veces la fuerza de la gravedad terrestre que es 1G y proporciona información sobre la aceleración, sobre caída libre, tiempo de vuelo, etc.
- *Acelerómetro 3D, 1000Hz a 8G.* Es decir, recoge 1000 datos por segundo de fuerzas de hasta ocho veces la fuerza de la gravedad terrestre y proporciona información sobre impactos, carga, tiempos de reacción, saltos, golpes, etc.
La existencia de dos tipos de acelerómetros se debe a que los acelerómetros que recogen un rango de aceleraciones más amplio son menos precisos que los que recogen aceleraciones menores, es por ello que se busca el equilibrio entre la precisión y tener la máxima información posible de los movimientos.
- *Giroscopio 3D, 140 Hz a 2000°/s.* Es decir, recoge 140 datos por segundo de velocidades angulares hasta de 2000°/s y proporciona información sobre velocidad angular en cada uno de los ejes, etc.
- *Magnetómetro 3D, 50 Hz a 4 Gauss.* Es decir, recoge 50 datos por segundo e intensidades de campos magnéticos de hasta 4 Gauss, con ello nos proporciona información sobre la dirección del movimiento, diferencia entre carrera de frente y de espalda, etc.
- *Barómetro 9 Hz a 120 kPa.* Es decir, recoge 90 datos por segundo de presiones de, a lo sumo, 120 Kilopascuales y proporciona información sobre la presión atmosférica, altura barométrica, previsión meteorológica, etc.

En la próxima sección explicaremos con más detalle el principio de funcionamiento y las características técnicas necesarias de dos de esos sensores, concretamente el acelerómetro y el giroscopio.

2.2. Sensores

El dispositivo con el que hemos tratado para la realización de este trabajo, WIMU, está compuesto por una unidad de medición inercial (IMU, inertial measurement unit) que consiste en un módulo electrónico que envía al procesador principal una colección de datos en los que recogen la velocidad angular y la aceleración lineal.

Una unidad de medición inercial está compuesta por dos tipos de sensores, el acelerómetro y el giroscopio.

■ Descripción de un acelerómetro

Un acelerómetro es un aparato electromecánico que nos permite medir fuerzas de aceleración. Estas fuerzas pueden ser estáticas, como la fuerza constante de la gravedad, o pueden ser dinámicas, causadas por el movimiento o la vibración del acelerómetro.

Hay muchos tipos de acelerómetros, la mayoría de ellos basados en cristales piezoeléctricos (es decir, cristales que cuando se comprimen o se golpean generan una carga eléctrica). Sin embargo, este tipo de acelerómetros es demasiado grande y por ello se han desarrollado los acelerómetros MEMs (micro electromechanical systems), [2] [4] [5], mucho más pequeños, lo que permite una gran aplicabilidad en la microelectrónica. Aunque también hay varios tipos de acelerómetros dentro de los MEMs, los utilizados en nuestro dispositivo proporcionan la señal detectando cambios en la capacitancia o capacidad eléctrica.

Este tipo de acelerómetro está compuesto por celdas capacitivas, formadas por placas fijas y placas móviles unidas a una masa, como podemos ver en la siguiente imagen, [2].

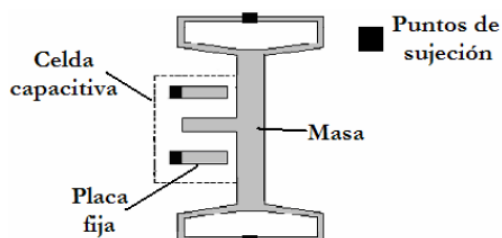


Figura 2.2: Esquema del acelerómetro MEMS.

Cuando el acelerómetro sufre una aceleración la masa se mueve y este movimiento modifica el valor de la capacitancia, de tal manera, que se obtiene un voltaje de salida proporcional a la magnitud de la fuerza a la que está siendo sometido el acelerómetro.

En ausencia de aceleración el sistema se encuentra en reposo, como en la figura 2.3.a, [2]. Cuando se presenta una fuerza en sentido negativo (los sentidos se han elegido de forma arbitraria), se mueve todo el sistema, pero la masa opone una resistencia al cambio de posición, de tal manera que se presenta un movimiento relativo entre el marco fijo y la masa como se muestra en la Figura 2.3.b , [2]. Para el caso de la Figura 2.3.c, [2], en el que se aplica una fuerza en sentido contrario, la masa presenta nuevamente una resistencia al cambio de posición, y de nuevo se manifiesta un movimiento relativo entre el marco fijo y la masa, lo que provoca una variación en la capacitancia.

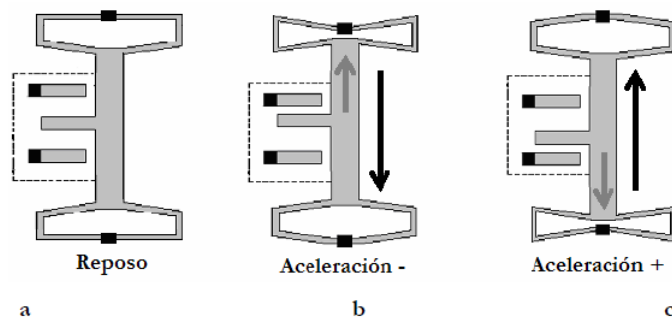


Figura 2.3:
Comportamiento del sensor MEMS con aceleración.

■ Descripción de un giroscopio

Un giroscopio es un dispositivo capaz de medir la velocidad angular basado en el principio de conservación del momento angular.

La mayoría de giroscopios basan su funcionamiento en el efecto de Coriolis, un fenómeno que se observa en un sistema de referencia en rotación cuando un cuerpo se encuentra en movimiento respecto de dicho sistema de referencia. Este efecto consiste en la existencia de una

aceleración relativa del cuerpo en el sistema en rotación, que se caracteriza por ser siempre perpendicular al eje de rotación del sistema y a la velocidad del cuerpo.

El efecto Coriolis hace que un objeto que se mueve sobre el radio de un disco en rotación tienda a acelerarse con respecto a ese disco según si el movimiento es hacia el eje de giro o alejándose de éste.

El valor de la fuerza de Coriolis, F_c , es:

$$\vec{F}_c = -2m (\vec{\omega} \times \vec{v}),$$

donde:

- m es la masa del cuerpo.
- v es la velocidad del cuerpo en el sistema en rotación.
- ω es la velocidad angular del sistema en rotación vista desde un sistema inercial.
- \times indica producto vectorial.

Veámos en la siguiente figura cómo se comporta dicha fuerza

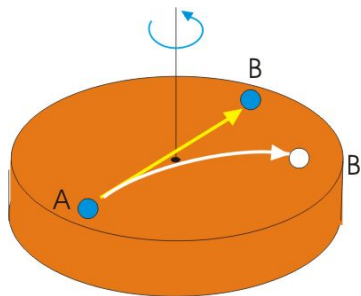


Figura 2.4: Fuerza de Coriolis. Reproducido de [7]

El giroscopio MEMS más utilizado y en concreto, el que utiliza WI-MU, es el que tiene una configuración de horquilla vibrante. Esto quiere decir que está compuesto por dos masas que oscilan y se mueven de forma constante en direcciones opuestas (veáse figura 2.5, [3]). Cuando se aplica una velocidad angular, las fuerzas de Coriolis resultantes en cada masa tienen también sentidos opuestos, lo que provoca un cambio en la capacitancia.

Este cambio en la capacitancia es proporcional a la velocidad angular ω y se transforma en un voltaje, que será la señal que recibamos del giroscopio.

Cuando la aceleración aplicada a las dos masas es lineal, dichas masas se mueven en el mismo sentido, luego no se producen cambios en la capacitancia y el voltaje proporcionado ha de ser cero.

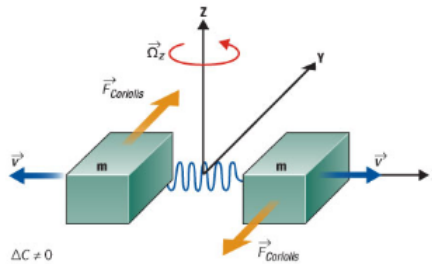


Figura 2.5: Esquema giroscopio MEMS.

2.3. Errores de los sensores

Hemos de tener en cuenta que para obtener la información que necesitamos del acelerómetro y el giroscopio debemos utilizar métodos de integración, pues para calcular la posición debemos integrar dos veces la aceleración y para la orientación hemos de integrar una vez la velocidad angular.

Esto supone que pequeños errores en las mediciones pueden tener grandes errores en el resultado final.

En esta sección vamos a presentar los tipos de errores que afectan a nuestros sensores, [8].

- **Error de sesgo constante.**

- En el giroscopio, el error de sesgo en la velocidad angular es la salida que nos proporciona, medido en $^{\circ}/h$, cuando no está siendo

sometido a ninguna rotación. El error de sesgo constante, ϵ , cuando se integra provoca un error angular que crece de forma lineal con el tiempo.

$$\theta(t) = \epsilon t.$$

Es posible estimar este error de sesgo tomando mediciones en periodos donde el giroscopio no esté sometido a ninguna rotación.

- En el acelerómetro es también el «offset» en la señal de salida del valor real, medido en m/s^2 . Un error de sesgo constante, ϵ , si se integra dos veces provoca un error en la posición que crece de forma cuadrática respecto al tiempo. El error acumulado en la posición viene dado por

$$s(t) = \epsilon \frac{t^2}{2},$$

donde t es el tiempo.

Es posible estimar este error de sesgo tomando mediciones en periodos donde el acelerómetro no esté sometido a ninguna aceleración pero teniendo en cuenta la gran complicación de que la fuerza de gravedad le afecta en todo momento.

■ Ruido blanco termodinámico.

- Las salidas proporcionadas por el giroscopio están perturbadas por secuencias de ruido termodinámico, que fluctúa con una velocidad mayor a la toma de datos del giroscopio. Como consecuencia, los datos obtenidos del sensor están perturbados por una secuencia de ruido blanco, que es básicamente una secuencia de variables aleatorias incorreladas y de media cero. En este caso, las variables aleatorias son idénticamente distribuidas y con varianza finita σ^2 . Para hacernos una idea de cuál es el efecto del ruido blanco durante la integración de la señal, podemos asumir que el método de integración utilizado es el de la regla del rectángulo.

Sea N_i la i -ésima variable aleatoria de la secuencia de ruido blanco. Cada N_i está idénticamente distribuida con media $E(N_i) = E(N) = 0$ y varianza finita $Var(N_i) = Var(N) = \sigma^2$. Por definición de una secuencia de ruido blanco $Cov(N_i, N_j) = 0$, $\forall i \neq j$. El resultado de integrar la señal de ruido blanco $\epsilon(t)$ utilizando la

regla del rectángulo sobre un periodo de tiempo $t = n \cdot \delta t$ es

$$\int_0^t \epsilon(\tau) d\tau = \delta t \sum_{i=1}^n N_i,$$

donde n es el número de datos recogidos por el aparato durante el periodo de tiempo y δt es el tiempo transcurrido entre la recogida de un dato y el siguiente.

Teniendo en cuenta la linealidad de la esperanza y que la varianza verifica $Var(aX + bY) = a^2Var(X) + b^2Var(Y) + 2abCov(X, Y)$ (donde a y b son constantes y X e Y variables aleatorias) tenemos que

$$\begin{aligned} E\left(\int_0^t \epsilon(\tau) d\tau\right) &= \delta t \cdot nE(N) = 0 \\ Var\left(\int_0^t \epsilon(\tau) d\tau\right) &= \delta t^2 \cdot nVar(N) = \delta t \cdot t \cdot \sigma^2. \end{aligned}$$

Por tanto, el ruido introduce un error en la señal integrada cuya desviación estándar es

$$\sigma_\theta(t) = \sigma\sqrt{\delta t \cdot t}.$$

- La salidas proporcionadas por el acelerómetro también están perturbadas por una secuencia de ruido blanco. Para ver cuánto afecta este ruido en la posición podemos realizar un análisis similar al del giroscopio, pero ahora integrando dos veces los datos proporcionados por el sensor.

Sea N_i la i -ésima variable aleatoria en la secuencia de ruido blanco, con $E(N_i) = E(N) = 0$ y $Var(N_i) = Var(N) = \sigma^2$. El resultado de la doble integral de la señal de ruido blanco $\epsilon(t)$ en un periodo de tiempo $n \cdot \delta t$ es

$$\begin{aligned} \int_0^t \int_0^t \epsilon(\tau) d\tau d\tau &= \delta t \sum_{i=1}^n \delta t \sum_{j=1}^i N_j \\ &= \delta t^2 \sum_{i=1}^n (n - i + 1) N_i, \end{aligned}$$

donde n es el número de datos tomados durante el periodo de

tiempo y δt es el tiempo que transcurre entre dos datos consecutivos. Así, el error esperado es

$$E\left(\int_0^t \epsilon(\tau) d\tau\right) = \delta t^2 \sum_{i=1}^n (n-i+1) E(N_i) = 0.$$

Y su varianza es

$$\begin{aligned} \text{Var}\left(\int_0^t \epsilon(\tau) d\tau\right) &= \delta t^4 \sum_{i=1}^n (n-i+1)^2 \text{Var}(N_i) \\ &= \frac{\delta t^4 n(n+1)(2n+1)}{6} \text{Var}(N_i) \\ &\approx \frac{1}{3} \cdot \delta t \cdot t^3 \cdot \sigma^2 \end{aligned}$$

asumiendo en el último paso que δt es pequeño. Por tanto, el ruido introduce un error a la señal integrada cuya desviación estándar es

$$\sigma_s(t) \approx \sigma \cdot t^{3/2} \sqrt{\frac{\delta t}{3}}.$$

- **Efectos de la temperatura.**

Las fluctuaciones de temperatura debido a los cambios ambientales o al calentamiento propio del sensor provoca un nuevo error de sesgo. Estas fluctuaciones, además, afectan de forma distinta a cada uno de los ejes tanto del acelerómetro como del giroscopio y van aumentando durante el tiempo que se mantiene encendido el dispositivo.

Puesto que estos errores producidos por la temperatura se comportan como errores de sesgo, como hemos explicado anteriormente, en el caso del giroscopio crecerán de forma lineal con el tiempo y de forma cuadrática en el caso del acelerómetro.

- **Errores de calibración.**

Este tipo de error se refiere a los errores de escala, desalineación y falta de ortogonalidad de los ejes conjuntamente. Este tipo de error afecta tanto al giroscopio como al acelerómetro y se comporta como un error de sesgo al integrar la señal y se van acumulando junto con los errores provocados por la temperatura durante el periodo de tiempo que el aparato está encendido.

Las causas fundamentales por las que se tiene este tipo de error son causas de fabricación y envejecimiento de los sensores.

2.4. Rotaciones y transformaciones en el espacio

2.4.1. Cambio de coordenadas en un espacio vectorial

Supongamos que tenemos un espacio vectorial \mathfrak{V} sobre \mathbb{R} de dimensión n (más adelante nos interesará fundamentalmente el caso $\mathfrak{V} = \mathbb{R}^n$, y sobre todo, $n = 3$).

Vamos a usar las letras de tipo \mathbf{a} para denotar *vectores* en \mathfrak{V} . Dada una base $\mathbf{v}_1, \dots, \mathbf{v}_n$ de \mathfrak{V} , todo vector $\mathbf{w} \in \mathfrak{V}$ se puede representar de forma única como combinación lineal

$$\mathbf{w} = \alpha_1 \mathbf{v}_1 + \dots + \alpha_n \mathbf{v}_n. \quad (2.1)$$

El vector columna $(\alpha_1, \dots, \alpha_n)^T \in \mathbb{R}^n$ es el vector de coordenadas de \mathbf{w} en la base ordenada $\mathbf{V} = (\mathbf{v}_1, \dots, \mathbf{v}_n)$, y lo denotaremos por $[\mathbf{w}]_{\mathbf{V}}$:

$$[\mathbf{w}]_{\mathbf{V}} = \begin{pmatrix} \alpha_1 \\ \vdots \\ \alpha_n \end{pmatrix}.$$

Si formalmente entendemos por la base $\mathbf{V} = (\mathbf{v}_1, \dots, \mathbf{v}_n)$ un vector fila (de vectores \mathbf{v}_j), entonces (2.1) se puede escribir como

$$\mathbf{w} = (\mathbf{v}_1, \dots, \mathbf{v}_n) \begin{pmatrix} \alpha_1 \\ \vdots \\ \alpha_n \end{pmatrix} = \mathbf{V}[\mathbf{w}]_{\mathbf{V}}.$$

Observación 2.4.1. Si $\mathfrak{V} = \mathbb{R}^n$, cada vector de la base \mathbf{v}_j es a su vez un vector (columna), de modo que en ese espacio \mathbf{V} es en realidad una *matriz* de $n \times n$.

Supongamos ahora que tenemos otra base ordenada, $\mathbf{U} = (\mathbf{u}_1, \dots, \mathbf{u}_n)$, de \mathfrak{V} , y queremos calcular el vector de coordenadas $[\mathbf{w}]_{\mathbf{U}}$ de \mathbf{w} en la nueva base \mathbf{U} . En otras palabras, queremos que

$$\mathbf{U}[\mathbf{w}]_{\mathbf{U}} = \mathbf{w} = \mathbf{V}[\mathbf{w}]_{\mathbf{V}}.$$

Pero cada elemento \mathbf{v}_j de la *vieja* base \mathbf{V} es un elemento de \mathfrak{V} , y \mathbf{U} es una base de \mathfrak{V} , de modo que, tal como hemos acordado,

$$\mathbf{v}_1 = \mathbf{U}[\mathbf{v}_1]_{\mathbf{U}}, \dots, \mathbf{v}_n = \mathbf{U}[\mathbf{v}_n]_{\mathbf{U}},$$

lo que se puede agrupar en una sola expresión,

$$\mathbf{V} = \mathbf{U} ([\mathbf{v}_1]_{\mathbf{U}}, \dots, [\mathbf{v}_n]_{\mathbf{U}}). \quad (2.2)$$

Se puede observar que independientemente de lo abstracto que sea el espacio vectorial \mathfrak{V} , la expresión

$$([\mathbf{v}_1]_{\mathbf{U}}, \dots, [\mathbf{v}_n]_{\mathbf{U}})$$

es una matriz de $\mathbb{R}^{n \times n}$, donde la columna j es el vector coordenadas del vector \mathbf{v}_j de la base antigua en la base nueva \mathbf{U} . Vamos a denotar esta matriz (conocida como *matriz de cambio de base de \mathbf{V} a \mathbf{U}*) por

$$T_{\mathbf{U} \leftarrow \mathbf{V}} = ([\mathbf{v}_1]_{\mathbf{U}}, \dots, [\mathbf{v}_n]_{\mathbf{U}}).$$

Con esta notación la identidad (2.2) se escribe como

$$\mathbf{V} = \mathbf{U} T_{\mathbf{U} \leftarrow \mathbf{V}}.$$

Entonces tenemos esta cadena de identidades:

$$\mathbf{w} = \mathbf{V}[\mathbf{w}]_{\mathbf{V}} = (\mathbf{U} T_{\mathbf{U} \leftarrow \mathbf{V}}) [\mathbf{w}]_{\mathbf{V}} = \mathbf{U} (T_{\mathbf{U} \leftarrow \mathbf{V}} [\mathbf{w}]_{\mathbf{V}}).$$

O sea, lo que está entre paréntesis en el miembro derecho es el vector de coordenadas de \mathbf{w} en la nueva base \mathbf{U} . En otras palabras, hemos obtenido la conocida expresión para el cambio de base:

$$\boxed{[\mathbf{w}]_{\mathbf{U}} = T_{\mathbf{U} \leftarrow \mathbf{V}} [\mathbf{w}]_{\mathbf{V}}}$$

Donde recordemos, la columna j es el vector coordenadas del vector \mathbf{v}_j de la base antigua en la base nueva \mathbf{U} :

$$\boxed{T_{\mathbf{U} \leftarrow \mathbf{V}} = ([\mathbf{v}_1]_{\mathbf{U}}, \dots, [\mathbf{v}_n]_{\mathbf{U}})}$$

2.4.2. Cambio de coordenadas en un espacio euclídeo

Supongamos que \mathfrak{V} es además un espacio euclídeo; en otras palabras, en \mathfrak{V} está definido el producto escalar $\langle \mathbf{u}, \mathbf{v} \rangle$ entre dos vectores $\mathbf{u}, \mathbf{v} \in \mathfrak{V}$. Por ejemplo, la definición estándar del producto escalar en \mathbb{R}^n es

$$\mathbf{u} = \begin{pmatrix} u_1 \\ \vdots \\ u_n \end{pmatrix}, \quad \mathbf{v} = \begin{pmatrix} v_1 \\ \vdots \\ v_n \end{pmatrix} \quad \Rightarrow \quad \langle \mathbf{u}, \mathbf{v} \rangle = \mathbf{u} \cdot \mathbf{v} = \mathbf{u}^T \mathbf{v} = \sum_{j=1}^n u_j v_j.$$

En un espacio euclídeo un concepto importante es el de vectores *ortogonales* (tales que $\mathbf{u} \cdot \mathbf{v} = 0$) y de *ortonormales* (que adicionalmente cumplen que $\|\mathbf{u}\| = \|\mathbf{v}\| = 1$, donde como es habitual, $\|\mathbf{u}\| = \sqrt{\langle \mathbf{u}, \mathbf{u} \rangle}$). Una base ortonormal $\mathbf{U} = (\mathbf{u}_1, \dots, \mathbf{u}_n)$ está formada por vectores ortonormales; una de las ventajas de trabajar con bases así es la simplicidad de calcular las coordenadas $[\mathbf{w}]_{\mathbf{U}}$ para cualquier vector $\mathbf{w} \in \mathfrak{V}$:

$$\begin{aligned} \mathbf{w} = \alpha_1 \mathbf{u}_1 + \dots + \alpha_n \mathbf{u}_n &\Rightarrow \alpha_j = \mathbf{w} \cdot \mathbf{u}_j, \quad j = 1, \dots, n, \\ &\Rightarrow [\mathbf{w}]_{\mathbf{U}} = \begin{pmatrix} \langle \mathbf{w}, \mathbf{u}_1 \rangle \\ \vdots \\ \langle \mathbf{w}, \mathbf{u}_n \rangle \end{pmatrix}. \end{aligned}$$

Supongamos que tenemos dos bases ordenadas, \mathbf{V} y \mathbf{U} , donde \mathbf{U} es *ortonormal*, y queremos hallar la matriz de cambio de coordenadas de la base \mathbf{V} a la base \mathbf{U} , en otras palabras, $T_{\mathbf{U} \leftarrow \mathbf{V}}$. Por lo que acabamos de ver,

$$T_{\mathbf{U} \leftarrow \mathbf{V}} = ([\mathbf{v}_1]_{\mathbf{U}}, \dots, [\mathbf{v}_n]_{\mathbf{U}}) = \begin{pmatrix} \langle \mathbf{v}_1, \mathbf{u}_1 \rangle & \langle \mathbf{v}_2, \mathbf{u}_1 \rangle & \dots & \langle \mathbf{v}_n, \mathbf{u}_1 \rangle \\ \vdots & \vdots & \ddots & \vdots \\ \langle \mathbf{v}_1, \mathbf{u}_n \rangle & \langle \mathbf{v}_2, \mathbf{u}_n \rangle & \dots & \langle \mathbf{v}_n, \mathbf{u}_n \rangle \end{pmatrix}.$$

Una matriz así, cuyo elemento (i, j) es igual a $\langle \mathbf{v}_i, \mathbf{u}_j \rangle$, se llama *matriz de Gram*. Obviamente, ella es simétrica.

Recordemos que para dos vectores cualesquiera \mathbf{u} y \mathbf{v} de \mathfrak{V} ,

$$\cos \angle(\mathbf{u}, \mathbf{v}) = \frac{\langle \mathbf{u}, \mathbf{v} \rangle}{\|\mathbf{u}\| \|\mathbf{v}\|},$$

de modo que si *las dos bases, \mathbf{V} y \mathbf{U} , están constituidas por vectores unitarios* (y \mathbf{U} es ortonormal), entonces esa matriz tiene la siguiente interpretación geométrica:

$$T_{\mathbf{U} \leftarrow \mathbf{V}} = \begin{pmatrix} \cos \angle(\mathbf{v}_1, \mathbf{u}_1) & \cos \angle(\mathbf{v}_2, \mathbf{u}_1) & \dots & \cos \angle(\mathbf{v}_n, \mathbf{u}_1) \\ \vdots & \vdots & \ddots & \vdots \\ \cos \angle(\mathbf{v}_1, \mathbf{u}_n) & \cos \angle(\mathbf{v}_2, \mathbf{u}_n) & \dots & \cos \angle(\mathbf{v}_n, \mathbf{u}_n) \end{pmatrix}. \quad (2.3)$$

Esto es lo que se conoce en ingeniería como *direction cosine matrix* o *DCM*. Por tanto, DCM es la matriz de cambio de una base ortonormal a otra base de vectores unitarios (ortogonales o no).

Si la base \mathbf{V} también fuese *ortonormal*, entonces $T_{\mathbf{U} \leftarrow \mathbf{V}}$ es una *matriz ortogonal* (su inversa = su transpuesta). En efecto, basta comprobar que sus

columnas forman una base ortonormal en \mathbb{R}^n . Tenemos que

$$\begin{aligned} \begin{pmatrix} \langle \mathbf{v}_i, \mathbf{u}_1 \rangle \\ \vdots \\ \langle \mathbf{v}_i, \mathbf{u}_n \rangle \end{pmatrix} \cdot \begin{pmatrix} \langle \mathbf{v}_j, \mathbf{u}_1 \rangle \\ \vdots \\ \langle \mathbf{v}_j, \mathbf{u}_n \rangle \end{pmatrix} &= \sum_{k=1}^n \langle \mathbf{v}_i, \mathbf{u}_k \rangle \langle \mathbf{v}_j, \mathbf{u}_k \rangle = \sum_{k=1}^n \langle \mathbf{v}_j, \langle \mathbf{v}_i, \mathbf{u}_k \rangle \mathbf{u}_k \rangle \\ &= \left\langle \mathbf{v}_j, \sum_{k=1}^n \langle \mathbf{v}_i, \mathbf{u}_k \rangle \mathbf{u}_k \right\rangle = \langle \mathbf{v}_j, \mathbf{v}_i \rangle = \begin{cases} 0, & \text{si } i \neq j, \\ 1, & \text{si } i = j. \end{cases} \end{aligned}$$

En particular, si las dos bases, \mathbf{V} y \mathbf{U} , son ortonormales, la matriz de transformación inversa, $T_{\mathbf{V} \leftarrow \mathbf{U}}$, se obtiene simplemente como la transpuesta de $T_{\mathbf{U} \leftarrow \mathbf{V}}$.

En el caso de \mathbb{R}^n , la transformación de coordenadas que conserva la ortonormalidad de las bases es una rotación en el espacio (teorema de Euler). En ese caso las matrices DCM son de hecho las *matrices de rotación*.

En el caso particular de $\mathfrak{V} = \mathbb{R}^3$, las matrices DCM (2.3) tienen la forma

$$T_{\mathbf{U} \leftarrow \mathbf{V}} = \begin{pmatrix} \cos \angle(\mathbf{v}_1, \mathbf{u}_1) & \cos \angle(\mathbf{v}_2, \mathbf{u}_1) & \cos \angle(\mathbf{v}_3, \mathbf{u}_1) \\ \cos \angle(\mathbf{v}_1, \mathbf{u}_2) & \cos \angle(\mathbf{v}_2, \mathbf{u}_2) & \cos \angle(\mathbf{v}_3, \mathbf{u}_2) \\ \cos \angle(\mathbf{v}_1, \mathbf{u}_3) & \cos \angle(\mathbf{v}_2, \mathbf{u}_3) & \cos \angle(\mathbf{v}_3, \mathbf{u}_3) \end{pmatrix}.$$

Si asumimos que todos los $\angle(\mathbf{v}_i, \mathbf{u}_i)$ son pequeños (lo que corresponde a una pequeña “pérdida de alineación” de la base original \mathbf{V} , siendo la nueva base aún unitaria), una aproximación razonable es

$$\cos \angle(\mathbf{v}_i, \mathbf{u}_i) \approx 1.$$

Por otro lado, eso significa que los ángulos restantes, $\angle(\mathbf{v}_j, \mathbf{u}_i) \approx \pi/2$, $i \neq j$, de modo que si denotamos por ejemplo $\angle(\mathbf{v}_2, \mathbf{u}_1) = \pi/2 - \theta_{12}$, tenemos que $\theta_{12} \approx 0$, y

$$\cos \angle(\mathbf{v}_2, \mathbf{u}_1) = \sin \theta_{12} \approx \theta_{12}.$$

Por convenio, se denota $\angle(\mathbf{v}_1, \mathbf{u}_2) = \pi/2 + \theta_{21}$, y por el mismo argumento

$$\cos \angle(\mathbf{v}_1, \mathbf{u}_2) = -\sin \theta_{21} \approx -\theta_{21}.$$

Haciendo lo mismo para los demás elementos de la matriz, obtenemos que *en el caso de una perturbación del sistema ortonormal inicial \mathbf{V} que conserva las normas unitarias de la base* (sin conservar necesariamente la ortogonalidad), la DCM se aproxima bien por la expresión

$$T_{\mathbf{U} \leftarrow \mathbf{V}} \approx \begin{pmatrix} 1 & \theta_{12} & -\theta_{13} \\ -\theta_{21} & 1 & \theta_{23} \\ \theta_{13} & -\theta_{32} & 1 \end{pmatrix} = I + \begin{pmatrix} 0 & \theta_{12} & -\theta_{13} \\ -\theta_{21} & 0 & \theta_{23} \\ \theta_{13} & -\theta_{32} & 0 \end{pmatrix}, \quad (2.4)$$

donde I es la matriz identidad.

2.4.3. Ángulos de Euler

Las matrices de rotación son fáciles de utilizar, pero sus elementos son difíciles de interpretar. Vamos a restringirnos al caso de \mathbb{R}^3 . Euler probó que para especificar la rotación de un sistema de coordenadas en el espacio se necesitan 3 parámetros reales, y que toda rotación en \mathbb{R}^3 puede obtenerse como una composición de tres *rotaciones elementales* consecutivas: seleccionamos el orden de los ejes coordenados y efectuamos la rotación alrededor de ese eje de forma consecutiva. Los tres ángulos correspondientes forman los *ángulos de Euler*. Puesto que hay $3! = 12$ formas de ordenar 3 ejes, a cada rotación espacial le corresponden 12 tripletes distintos de ángulos de Euler; lo que supone una desventaja.

Sin embargo, si se conocen los ángulos de Euler, la matriz DCM es fácil de obtener, multiplicando de forma consecutiva las *matrices de rotación elementales*. Por ejemplo, una rotación alrededor del eje OX (que deja la coordenada x invariante) un ángulo θ_x está dada por su matriz DCM (ver (2.3))

$$R_x = \begin{pmatrix} 1 & 0 & 0 \\ 0 & \cos \theta_x & \sin \theta_x \\ 0 & -\sin \theta_x & \cos \theta_x \end{pmatrix}.$$

Análogamente, a una rotación alrededor del eje OY (resp., OZ) un ángulo θ_y (resp., θ_z) le corresponde la matriz

$$R_y = \begin{pmatrix} \cos \theta_y & 0 & \sin \theta_y \\ 0 & 1 & 0 \\ -\sin \theta_y & 0 & \cos \theta_y \end{pmatrix} \quad \text{y} \quad R_z = \begin{pmatrix} \cos \theta_z & \sin \theta_z & 0 \\ -\sin \theta_z & \cos \theta_z & 0 \\ 0 & 0 & 1 \end{pmatrix},$$

respectivamente. Entonces, a una transformación que se obtiene de realizar primero una rotación un ángulo θ_x alrededor del eje OX , seguida por una rotación un ángulo θ_y alrededor del (nuevo) eje OY , y finalmente por una rotación un ángulo θ_z alrededor del nuevo eje OZ le corresponde la matriz de rotación (o DCM)

$$R = R_z R_y R_x.$$

Si los ángulos de rotación θ son pequeños, una aproximación razonable es $\cos \theta \approx 1$, $\sin \theta \approx \theta$, de modo que

$$R_x \approx \begin{pmatrix} 1 & 0 & 0 \\ 0 & 1 & \theta_x \\ 0 & -\theta_x & 1 \end{pmatrix}, \quad R_y \approx \begin{pmatrix} 1 & 0 & \theta_y \\ 0 & 1 & 0 \\ -\theta_y & 0 & 1 \end{pmatrix} \quad \text{y} \quad R_z \approx \begin{pmatrix} 1 & \theta_z & 0 \\ -\theta_z & 1 & 0 \\ 0 & 0 & 1 \end{pmatrix}.$$

Realizando la multiplicación $R_z R_y R_x$ y descartando los términos de orden

superior (despreciables), nos queda que

$$R \approx \begin{pmatrix} 1 & \theta_z & \theta_y \\ -\theta_z & 1 & \theta_x \\ -\theta_y & -\theta_x & 1 \end{pmatrix},$$

lo que es un caso particular de la formula linealizada (2.4).

2.4.4. Rotaciones en \mathbb{R}^3 . Cuaterniones

La matriz de rotación planteada en la seccion 2.4.3 presenta algunos problemas como son la existencia de singularidades y que resulta redundante porque solo cuatro de sus nueve elementos son independientes, además de que su interpretación geométrica no es clara, pues se necesitan numerosos cálculos para obtener el eje de rotación y el ángulo. Por tanto, con el objetivo de eliminar estos problemas se propone otra forma de representar las rotaciones en \mathbb{R}^3 mediante cuaterniones.

Los cuaterniones fueron desarrollados por W. R. Hamilton en 1843 y consisten en 4-tuplas que permiten representar rotaciones de una forma más concisa y eficaz que la presentada anteriormente, con un significado geométrico mucho más claro puesto que, tanto el ángulo como el eje de rotación se puede recuperar de forma inmediata.

Cuaterniones. Definición y propiedades

El conjunto de los cuaterniones, junto con las operaciones de suma y multiplicación, forma un anillo no conmutativo. La base ortonormal usual en \mathbb{R}^3 viene dada por tres vectores unitarios $\mathbf{i} = (1, 0, 0)$, $\mathbf{j} = (0, 1, 0)$, $\mathbf{k} = (0, 0, 1)$. Un *cuaternion* q se define como la suma de un escalar q_0 y un vector $\mathbf{q} = (q_1, q_2, q_3)$, es decir,

$$q = q_0 + \mathbf{q} = q_0 + q_1\mathbf{i} + q_2\mathbf{j} + q_3\mathbf{k}.$$

La suma de dos cuaterniones se realiza componente a componente. Consideremos el cuaternión $q = q_0 + q_1\mathbf{i} + q_2\mathbf{j} + q_3\mathbf{k}$ y otro cuaternión $p = p_0 + p_1\mathbf{i} + p_2\mathbf{j} + p_3\mathbf{k}$, entonces

$$p + q = (p_0 + q_0) + (p_1 + q_1)\mathbf{i} + (p_2 + q_2)\mathbf{j} + (p_3 + q_3)\mathbf{k}.$$

Todo cuaternión q tiene opuesto $-q$ con componentes $-q_i$, $i = 0, 1, 2, 3$.

El producto de dos cuaterniones satisface las siguientes igualdades fundamentales introducidas por Hamilton:

$$\begin{aligned} \mathbf{i}^2 &= \mathbf{j}^2 = \mathbf{k}^2 = \mathbf{ijk} = -1, \\ \mathbf{ij} &= \mathbf{k} = -\mathbf{ji}, \\ \mathbf{jk} &= \mathbf{i} = -\mathbf{kj}, \\ \mathbf{ki} &= \mathbf{j} = -\mathbf{ik}. \end{aligned}$$

Así, el producto de dos cuaterniones p y q queda como:

$$\begin{aligned} pq &= (p_0 + p_1\mathbf{i} + p_2\mathbf{j} + p_3\mathbf{k})(q_0 + q_1\mathbf{i} + q_2\mathbf{j} + q_3\mathbf{k}) \\ &= p_0q_0 - (p_1q_1 + p_2q_2 + p_3q_3) + p_0(q_1\mathbf{i} + q_2\mathbf{j} + q_3\mathbf{k}) + q_0(p_1\mathbf{i} + p_2\mathbf{j} + p_3\mathbf{k}) \\ &\quad + (p_2q_3 - p_3q_2)\mathbf{i} + (p_3q_1 - p_1q_3)\mathbf{j} + (p_1q_2 - p_2q_1)\mathbf{k}. \end{aligned}$$

Este producto lo podemos reescribir, de una forma más sencilla, utilizando el producto escalar y el producto vectorial de \mathbb{R}^3 . Si $q = q_0 + q_1\mathbf{i} + q_2\mathbf{j} + q_3\mathbf{k}$ y $p = p_0 + p_1\mathbf{i} + p_2\mathbf{j} + p_3\mathbf{k}$ se tiene

$$pq = p_0q_0 - \mathbf{p} \cdot \mathbf{q} + p_0\mathbf{q} + q_0\mathbf{p} + \mathbf{p} \times \mathbf{q}. \quad (2.5)$$

Por tanto, el producto de dos cuaterniones es un cuaternión con parte escalar $p_0q_0 - \mathbf{p} \cdot \mathbf{q}$ y parte vectorial $p_0\mathbf{q} + q_0\mathbf{p} + \mathbf{p} \times \mathbf{q}$. Así el conjunto de los cuaterniones es cerrado bajo la suma y la multiplicación, donde la multiplicación es distributiva respecto de la suma. El elemento identidad del conjunto de los cuaterniones es el cuaternión que tiene la parte real 1 y la parte vectorial 0.

También podemos definir el conjugado de un cuaternión, su norma y su inverso como haremos a continuación.

Sea $q = q_0 + \mathbf{q} = q_0 + q_1\mathbf{i} + q_2\mathbf{j} + q_3\mathbf{k}$ un cuaternión, se define el *conjugado* de q , denotado como q^* , como

$$q^* = q_0 - \mathbf{q} = q_0 - q_1\mathbf{i} - q_2\mathbf{j} - q_3\mathbf{k}.$$

De esta definición se sigue sin dificultad que

$$\begin{aligned} (q^*)^* &= q_0 - (-\mathbf{q}) = q, \\ q + q^* &= 2q_0, \\ q^*q &= (q_0 - \mathbf{q})(q_0 + \mathbf{q}) \\ &= q_0q_0 - (-\mathbf{q}) \cdot \mathbf{q} + q_0\mathbf{q} + (-\mathbf{q}q_0) + (-\mathbf{q}) \times \mathbf{q} \\ &= q_0^2 + \mathbf{q} \cdot \mathbf{q} \\ &= q_0^2 + q_1^2 + q_2^2 + q_3^2 \\ &= qq^*. \end{aligned}$$

Pasemos ahora a definir la *norma* de un cuaternión, q , denotada por $|q|$ como

$$|q| = \sqrt{q^*q}.$$

Diremos entonces que un cuaternión es *unitario* cuando su norma sea 1. Y definimos por último el *inverso* de un cuaternión, q , como

$$q^{-1} = \frac{q^*}{|q|^2}.$$

Es sencillo ver que $qq^{-1} = q^{-1}q = 1$ y si q es un vector unitario, su inverso coincide con su conjugado.

Operador rotación

Nos podemos hacer la pregunta de cómo puede un cuaternión, que «vive» en \mathbb{R}^4 , operar sobre un vector de \mathbb{R}^3 , pero hemos de recordar, en primer lugar, que un vector $\mathbf{v} \in \mathbb{R}^3$ es un *cuaternión puro*, es decir, que tiene parte real cero.

Consideremos un cuaternión unitario $q = q_0 + \mathbf{q}$ ($q_0^2 + \|\mathbf{q}\|^2 = 1$) lo que implica que existe un único $\theta \in [0, \pi]$ que verifica que $\cos \theta = q_0$ y $\sin \theta = \|\mathbf{q}\|$. Entonces podemos escribir el cuaternión unitario en términos del ángulo θ y del vector unitario $\mathbf{u} = \mathbf{q}/\|\mathbf{q}\|$:

$$q = \cos \theta + \mathbf{u} \sin \theta.$$

Utilizando el cuaternión unitario q podemos definir un operador sobre los vectores $\mathbf{v} \in \mathbb{R}^3$

$$\begin{aligned} L_q(0 + \mathbf{v}) &= q(0 + \mathbf{v})q^* \\ &= (q_0^2 - \|\mathbf{q}\|^2)(0 + \mathbf{v}) + 2(\mathbf{q} \cdot (0 + \mathbf{v}))\mathbf{q} + 2q_0(\mathbf{q} \times (0 + \mathbf{v})). \end{aligned}$$

Hemos de hacer dos observaciones sobre el operador definido. En primer lugar, dicho operador no cambia la longitud del vector \mathbf{v} , pues

$$\begin{aligned} \|L_q(0 + \mathbf{v})\| &= \|q(0 + \mathbf{v})q^*\| \\ &= |q| \cdot \|(0 + \mathbf{v})\| |q^*| \\ &= \|(0 + \mathbf{v})\|. \end{aligned}$$

En segundo lugar, la dirección de $(0 + \mathbf{v})$ sobre \mathbf{q} , es invariante bajo la acción del operador L_q . Para probarlo, supongamos que $\mathbf{v} = k\mathbf{q}$ y

$$\begin{aligned} q(0 + \mathbf{v})q^* &= q(k\mathbf{q})q^* \\ &= (q_0^2 - \|\mathbf{q}\|^2)(k\mathbf{q}) + 2(\mathbf{q} \cdot k\mathbf{q})\mathbf{q} + 2q_0(\mathbf{q} \times k\mathbf{q}) \\ &= k(q_0^2 + \|\mathbf{q}\|^2)\mathbf{q} \\ &= k\mathbf{q}. \end{aligned}$$

Probemos ahora que el operador L_q es lineal en \mathbb{R}^3 . Sean $\mathbf{v}_1, \mathbf{v}_2 \in \mathbb{R}^3$ y sean $a_1, a_2 \in \mathbb{R}$,

$$\begin{aligned}
L_q(a_1(0 + \mathbf{v}_1) + a_2(0 + \mathbf{v}_2)) &= q(a_1(0 + \mathbf{v}_1) + a_2(0 + \mathbf{v}_2))q^* \\
&= (q_0^2 - \|\mathbf{q}\|^2)(a_1(0 + \mathbf{v}_1) + a_2(0 + \mathbf{v}_2)) \\
&\quad + 2(\mathbf{q} \cdot (a_1(0 + \mathbf{v}_1) + a_2(0 + \mathbf{v}_2)))\mathbf{q} \\
&\quad + 2(\mathbf{q} \times (a_1(0 + \mathbf{v}_1) + a_2(0 + \mathbf{v}_2))) \\
&= a_1(q_0^2 - \|\mathbf{q}\|^2)(0 + \mathbf{v}_1) + a_2(q_0^2 - \|\mathbf{q}\|^2)(0 + \mathbf{v}_2) \\
&\quad + 2a_1(\mathbf{q} \cdot \mathbf{v}_1)\mathbf{q} + 2a_2(\mathbf{q} \cdot \mathbf{v}_2)\mathbf{q} \\
&\quad + 2q_0a_1(\mathbf{q} \times (0 + \mathbf{v}_1)) + 2q_0a_2(\mathbf{q} \times (0 + \mathbf{v}_2)) \\
&= a_1[(q_0^2 - \|\mathbf{q}\|^2)(0 + \mathbf{v}_1) \\
&\quad + 2(\mathbf{q} \cdot (0 + \mathbf{v}_1))\mathbf{q} + 2q_0(\mathbf{q} \times (0 + \mathbf{v}_1))] \\
&\quad + a_2[(q_0^2 - \|\mathbf{q}\|^2)\mathbf{v}_2 + 2(\mathbf{q} \cdot (0 + \mathbf{v}_2))\mathbf{q} + 2q_0(\mathbf{q} \times (0 + \mathbf{v}_2))] \\
&= a_1L_q(0 + \mathbf{v}_1) + a_2L_q(0 + \mathbf{v}_2).
\end{aligned}$$

Tras las dos observaciones realizadas anteriormente podemos intuir que L_q actúa como una rotación sobre \mathbf{q} , esta intuición la precisamos en el siguiente teorema:

Teorema 2.4.2. *Para cualquier cuaternión unitario*

$$q = q_0 + \mathbf{q} = \cos \frac{\theta}{2} + \mathbf{u} \operatorname{sen} \frac{\theta}{2}$$

y para cualquier vector $\mathbf{v} \in \mathbb{R}^3$ la acción del operador

$$L_q(\mathbf{v}) = q\mathbf{v}q^*$$

sobre \mathbf{v} es equivalente a la rotación de un vector con un ángulo θ y con \mathbf{u} como eje de rotación.

Demostración. Dado un vector $\mathbf{v} \in \mathbb{R}^3$, lo podemos descomponer como $\mathbf{v} = \mathbf{a} + \mathbf{n}$, donde \mathbf{a} es la componente sobre el vector \mathbf{q} y \mathbf{n} es la componente normal al vector \mathbf{q} . Entonces bajo el operador L_q , \mathbf{a} es invariante mientras que \mathbf{n} queda rotado un ángulo θ sobre \mathbf{q} . Como el operador es lineal, tenemos que la imagen $q\mathbf{v}q^*$ se puede interpretar por tanto, como una rotación de \mathbf{v} sobre \mathbf{q} por un ángulo θ .

Como hemos razonado anteriormente, sabemos que \mathbf{a} es invariante bajo la acción de L_q . Por tanto, centrémonos en el efecto de L_q sobre la componente ortogonal \mathbf{n} . Tenemos:

$$\begin{aligned}
L_q(\mathbf{n}) &= (q_0^2 - \|\mathbf{q}\|^2)\mathbf{n} + 2(\mathbf{q} \cdot \mathbf{n})\mathbf{q} + 2q_0(\mathbf{q} \times \mathbf{n}) \\
&= (q_0^2 - \|\mathbf{q}\|^2)\mathbf{n} + 2q_0(\mathbf{q} \times \mathbf{n}) \\
&= (q_0^2 - \|\mathbf{q}\|^2)\mathbf{n} + 2q_0\|\mathbf{q}\|(\mathbf{u} \times \mathbf{n})
\end{aligned}$$

en la última igualdad se ha tenido en cuenta el hecho de que $\mathbf{u} = q/\|\mathbf{q}\|$. Denotemos por $\mathbf{n}_\perp = \mathbf{u} \times \mathbf{n}$ dejando la ecuación anterior como sigue:

$$L_q(\mathbf{n}) = (q_0^2 - \|\mathbf{q}\|)\mathbf{n} + 2q_0\|\mathbf{q}\|\mathbf{n}_\perp. \quad (2.6)$$

Podemos ver, además, que tanto \mathbf{n} como \mathbf{n}_\perp tienen la misma longitud,

$$\|\mathbf{n}_\perp\| = \|\mathbf{u} \times \mathbf{n}\| = \|\mathbf{n}\| \cdot \|\mathbf{u}\| \sin \frac{\pi}{2} = \|\mathbf{n}\|.$$

Donde en la penúltima igualdad hemos utilizado la propiedad del producto vectorial que dice que si tenemos dos vectores $a, b \in \mathbb{R}^3$, se verifica

$$a \times b = (|a||b| \sin \theta)\widehat{n},$$

donde \widehat{n} es el vector unitario y ortogonal a los vectores a, b y θ es el ángulo entre dichos vectores.

Así, como \mathbf{u} y \mathbf{n} son ortogonales por serlo \mathbf{q} y \mathbf{n} , el ángulo formado es $\pi/2$ y teniendo en cuenta que \mathbf{u} es unitario llegamos a la última igualdad, que nos prueba que \mathbf{n} y \mathbf{n}_\perp tienen la misma longitud.

Finalmente, teniendo en cuenta que $\cos^2 \theta = q_0^2$ y $\sin^2 \theta = \|\mathbf{q}\|^2$, podemos reescribir la ecuación 2.6 como

$$\begin{aligned} L_q(\mathbf{n}) &= \left(\cos^2 \frac{\theta}{2} - \sin^2 \frac{\theta}{2}\right) \mathbf{n} + \left(2 \cos \frac{\theta}{2} \sin \frac{\theta}{2}\right) \mathbf{n}_\perp \\ &= \cos \theta \mathbf{n} + \sin \theta \mathbf{n}_\perp, \end{aligned}$$

donde hemos utilizado las siguientes identidades trigonométricas

$$\begin{aligned} \cos^2 x - \sin^2 x &= \cos(x+y) \cos(x-y). \\ \sin x - \sin y &= 2 \cos\left(\frac{x+y}{2}\right) \sin\left(\frac{x-y}{2}\right). \end{aligned}$$

Por tanto, el resultado obtenido al aplicar el operador L_q es una rotación de \mathbf{n} de un ángulo θ en el plano generado por \mathbf{n} y \mathbf{n}_\perp (véase figura 2.6, [17]).

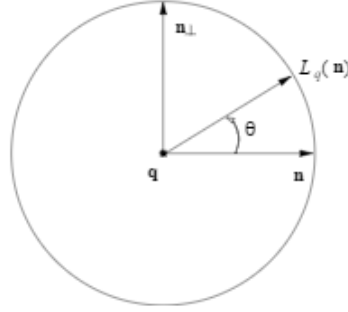


Figura 2.6: Acción del operador L_q sobre \mathbf{n} .

□

Desarrollando $q\mathbf{v}q^*$ como una matriz obtenemos que si tenemos $\mathbf{v} = (x \ y \ z)$, el operador queda de la forma

$$L_q(\mathbf{v}) = \begin{pmatrix} q_0^2 + q_1^2 - q_2^2 - q_3^2 & 2(q_1q_2 - q_0q_3) & 2(q_1q_3 + q_0q_2) \\ 2(q_1q_2 + q_0q_3) & q_0^2 - q_1^2 + q_2^2 - q_3^2 & 2(q_2q_3 - q_0q_1) \\ 2(q_1q_3 - q_0q_2) & 2(q_2q_3 + q_0q_1) & q_0^2 - q_1^2 - q_2^2 + q_3^2 \end{pmatrix} \begin{pmatrix} x \\ y \\ z \end{pmatrix}.$$

Y será la forma matricial que acabamos de presentar la que utilizaremos en el algoritmo de calibración del giroscopio.

2.5. Regularización.

La regularización es un método que permite calcular soluciones estables de problemas mal planteados.

El concepto de problema mal planteado proviene de Hadamard, quien definió un problema mal planteado como cualquier problema que no estuviera bien planteado, considerando el mismo como cualquier problema abstracto constituido por un conjunto de datos X , un conjunto de soluciones Y y una aplicación $f : X \rightarrow Y$ que verifica las siguientes condiciones:

1. f está definida en todo X ;
2. para todo $x \in X$, la solución $y = f(x)$ es única;
3. f es continua respecto a x .

Las primeras dos condiciones se resumen diciendo que f es una función $X \rightarrow Y$, mientras que la última condición se conoce como estabilidad del problema respecto a los datos.

Además, Hadamard pensaba que estos problemas eran «artificiales» y que no representaban fenómenos físicos, sin embargo, hoy en día hay una enorme cantidad de problemas de este tipo en distintas áreas de la ciencia y la ingeniería.

La teoría de la regularización surgió para problemas lineales como el que se presenta a continuación

$$Ax = b \quad A \in \mathbb{R}^{n \times n} \quad (2.7)$$

o para problemas de mínimos cuadrados lineales

$$\min_x \|Ax - b\|_2, \quad A \in \mathbb{R}^{m \times n}, \quad m > n \quad (2.8)$$

en los que podemos precisar aún más la definición de problema mal planteado. Diremos que un problema está mal planteado, en este caso, si se verifican las siguientes condiciones:

- Los valores singulares de A van tendiendo a cero.
- La proporción entre el valor singular más grande y el más pequeño, distinto de cero, es grande.

Donde la segunda condición implica que A está mal condicionada, es decir, que la solución será muy sensible a pequeñas perturbaciones.

La dificultad fundamental de estos problemas es que son subdeterminados debido al grupo de valores singulares pequeños de A . Por tanto, es necesario incorporar información adicional sobre la solución que necesitamos para poder estabilizar el problema y conseguir una solución útil y estable. Éste será exactamente el objetivo de la regularización.

La regularización más conocida y utilizada es la *Regularización de Tikhonov*. Es claro que resolver el problema 2.8 es equivalente a resolver

$$\min_x \|Ax - b\|_2^2, \quad A \in \mathbb{R}^{m \times n}, \quad m > n$$

entonces, la regularización de Tikhonov propone añadir un término a la función objetivo del problema de minimización, que depende de un parámetro no negativo λ y de la norma del vector x :

$$\min_x \|Ax - b\|_2 + \lambda^2 \|x\|^2. \quad (2.9)$$

Así, si el valor del parámetro de regularización, λ , es el adecuado podemos encontrar una solución cercana al problema de mínimos cuadrados estándar, 2.8, pero de forma que la norma del vector solución sea pequeña.

Si λ es cero estamos ante el problema estándar, sin embargo, si λ tiende a infinito el vector x se irá acercando a cero y no tendríamos una solución adecuada.

Pero la regularización no es sólo aplicable a problemas lineales si no que se puede aplicar a problemas no lineales, como será nuestro caso.

Diremos que nos encontramos ante un problema de mínimos cuadrados no lineales si queremos encontrar un mínimo \mathbf{x}^* de una función objetivo no lineal, f , dada de la siguiente forma:

$$\min_{x \in \mathbb{R}^n} f(x) = \min_{\mathbf{x}} \frac{1}{2} r(x)^T r(x) = \min_{\mathbf{x}} \frac{1}{2} \sum_{i=1}^m r_i(x)^2, \quad m \geq n, \quad (2.10)$$

donde $r : \mathbb{R}^n \rightarrow \mathbb{R}^m$ es una función no lineal de x . El problema de mínimos cuadrados no lineales se puede ver como un problema de minimización sin restricciones con una estructura particular. De hecho, este problema se puede interpretar como resolver un sistema de m ecuaciones no lineales

$$r_i(x) = 0, \quad i = 1, 2, \dots, m,$$

donde $r_i(x)$ se conoce como función residual. Cuando $m > n$ el sistema es sobredeterminado, mientras que si $m = n$ el problema está bien determinado.

Las condiciones necesarias y suficientes para que un problema de mínimos cuadrados no lineales tenga un mínimo, como en el caso lineal, son las siguientes:

1. **Condición necesaria de primer orden.** Si \mathbf{x}^* es un punto estacionario, es decir,

$$\nabla f(\mathbf{x}^*) = 0.$$

2. **Condición suficiente de segundo orden.** El hessiano, $\nabla^2 f(\mathbf{x}^*)$ es definido positivo.

Donde recordemos, el gradiente de una función escalar de n variables, $f(x)$ se define como el vector dado por

$$\frac{\partial f(\mathbf{x})}{\partial x_j}, \quad j = 1, \dots, n.$$

y su hessiano, $\nabla^2 f(\mathbf{x})$ como la matriz simétrica dada por

$$[\nabla^2 f(\mathbf{x})]_{ij} = \frac{\partial^2 f(\mathbf{x})}{\partial x_i \partial x_j}, \quad i, j = 1, \dots, n.$$

2.6. Algoritmos para resolver problemas de mínimos cuadrados no lineales. Algoritmo de Levenberg-Marquardt

Normalmente, para resolver problemas de mínimos cuadráticos no lineales se utiliza el método de Newton con el objetivo de resolver el sistema de ecuaciones normales.

Supongamos que nos encontramos ante el problema

$$\min_{x \in \mathbb{R}^n} f(x) = \min_{\mathbf{x}} \frac{1}{2} r(x)^T r(x) = \min_{\mathbf{x}} \frac{1}{2} \sum_{i=1}^m r_i(x)^2, \quad m \geq n.$$

Sea $J(x)$ el jacobiano de $r(x)$, entonces el gradiente de $f(x)$ es

$$g(x) = \sum_{i=1}^m r_i(x) \nabla r_i(x) = J(x)^T r(x)$$

y su hessiano es

$$\begin{aligned} G(x) &= \sum_{i=1}^m (\nabla r_i(x) \nabla r_i(x)^T + r_i(x) \nabla^2 r_i(x)) \\ &= J(x)^T J(x) + S(x), \end{aligned}$$

donde

$$S(x) = \sum_{i=1}^m r_i(x) \nabla^2 r_i(x).$$

Por tanto, el modelo cuadrático de la función objetivo $f(x)$ es

$$\begin{aligned} q^{(k)}(x) &= f(x_k) + g(x_k)^T(x - x_k) + \frac{1}{2}(x - x_k)^T G(x_k)(x - x_k) \\ &= \frac{1}{2}r(x_k)^T r(x_k) + (J(x_k)^T r(x_k))^T(x - x_k) \\ &\quad + \frac{1}{2}(x - x_k)^T (J(x_k)^T J(x_k) + S(x_k))(x - x_k). \end{aligned}$$

Entonces, el método de Newton viene dado por

$$x_{k+1} = x_k - (J(x_k)^T J(x_k) + S(x_k))^{-1} J(x_k)^T r(x_k).$$

Pero el método de Newton nos plantea un problema en algunos casos, y es la gran dificultad y coste computacional que supone calcular el término de segundo orden $S(x)$. Entonces se plantea un método de forma que este término $S(x)$ de $G(x)$ es eliminado en el modelo cuadrático de la función objetivo $f(x)$, quedando lo siguiente:

$$q^{(k)}(x) = \frac{1}{2}r(x_k)^T r(x_k) + (J(x_k)^T r(x_k))^T(x - x_k) \quad (2.11)$$

$$+ \frac{1}{2}(x - x_k)^T (J(x_k)^T J(x_k))(x - x_k). \quad (2.12)$$

Entonces, tendríamos:

$$x_{k+1} = x_k + s_k = x_k - (J(x_k)^T J(x_k))^{-1} J(x_k)^T r(x_k).$$

Y el algoritmo sería el siguiente:

1. Dados $x_0, \epsilon > 0, k := 0$.
2. If $\|g_k\| \leq \epsilon$, entonces acaba.
3. Resolver

$$J(x_k)^T J(x_k) s_k = -J(x_k)^T r(x_k) \text{ para } s_k. \quad (2.13)$$

4. Calculamos $x_{k+1} = x_k + s_k, k := k + 1$. Y volvemos al segundo paso.

Donde 2.13 se conoce como ecuación de Gauss-Newton y se observa que la única diferencia con el método de Newton es que el término del Hessiano $G(x_k)$ es reemplazado por el término de primer orden $J(x_k)^T J(x_k)$.

Observemos que el paso tres de nuestro algoritmo se corresponde con las ecuaciones normales de un problema de mínimos cuadrados lineales. Además, el modelo 2.12 es equivalente a considerar

$$M_k = r(x_k) + J(x_k)(x - x_k) \quad (2.14)$$

y resolver el problema de mínimos cuadrados lineal

$$\text{mín } \frac{1}{2} \|M_k(x)\|^2.$$

Estas observaciones nos muestran que el método de Gauss-Newton es, de hecho, un método para linealizar problemas de mínimos cuadrados no lineales.

Sin embargo, este método también plantea problemas si $J(x)$ no tiene rango máximo y por ello se propone el algoritmo de Levenberg-Marquardt que utilizaremos en la calibración del acelerómetro.

2.6.1. Algoritmo de Levenberg-Marquardt

Para solventar los problemas que nos plantean con el método de Gauss-Newton se utiliza la técnica de «trust-region», considerando el modelo de «trust-region»

$$\begin{aligned} \text{mín } & \frac{1}{2} \|J(x_k)(x - x_k) + r(x_k)\|_2^2 \\ \text{s.a } & \|x - x_k\|_2 \leq \Delta_k, \end{aligned} \tag{2.15}$$

que puede ser reescrito como vemos a continuación

$$\begin{aligned} \text{mín } & q_k(x) = \frac{1}{2} \|r_k\|^2 + r_k^T J(x_k)(x - x_k) + \frac{1}{2} (x - x_k)^T J(x_k)^T J(x_k)(x - x_k) \\ \text{s.a } & \|x - x_k\|_2 \leq \Delta_k. \end{aligned}$$

Sea $s = x - x_k$. Entonces la solución del problema 2.15 se puede obtener resolviendo el problema

$$(J(x_k)^T J(x_k) + \mu_k I)s = -J(x_k)^T r(x_k),$$

luego,

$$x_{k+1} = x_k - (J(x_k)^T J(x_k) + \mu_k I)^{-1} J(x_k)^T r(x_k).$$

Cuando $\|(J(x_k)^T J(x_k))^{-1} J(x_k)^T r(x_k)\| \leq \Delta_k$, entonces $\mu_k = 0$ y la solución viene dada por s_k . En otro caso, existe $\mu_k > 0$ tal que la solución s_k satisface $\|s_k\| = \Delta_k$ y

$$(J(x_k)^T J(x_k) + \mu_k I)s = -J(x_k)^T r(x_k),$$

Así, obtendríamos el método de Levenberg-Marquard que utilizaremos en la calibración del acelerómetro y que se encuentra ya implementado en «Matlab».

Para más información se puede consultar [22],[23],[24].

2.7. Algoritmo de Nelder-Mead

El algoritmo de Nelder-Mead, que utilizaremos para la calibración del giroscopio, se publicó en 1965 y es uno de los algoritmos más utilizados para optimización multidimensional sin restricciones. Además, no necesita calcular derivadas lo que permite que se aplique a problemas que involucren funciones que no sean excesivamente suaves.

Este algoritmo está diseñado para resolver problemas de optimización sin restricciones para funciones no lineales, $f : \mathbb{R}^n \rightarrow \mathbb{R}$ y utiliza únicamente el valor de la función en algunos puntos de \mathbb{R}^n , sin intentar calcular el gradiente de la función en ninguno de esos puntos.

El método de Nelder-Mead se basa en simplex en \mathbb{R}^n que se define como la envolvente convexa de $n + 1$ vértices $x_0, \dots, x_n \in \mathbb{R}^n$. Por ejemplo, un simplex en \mathbb{R}^2 sería un triángulo y en \mathbb{R}^3 un tetraedro.

Este tipo de métodos comienzan con un conjunto de $n+1$ puntos $x_0, \dots, x_n \in \mathbb{R}^n$ que los consideramos como los vértices de nuestro simplex S y con los valores de la función en los vértices $f_j := f(x_j)$ para $j = 0, \dots, n$. El simplex inicial ha de ser no degenerado, es decir, los puntos x_0, \dots, x_n no pueden estar en un mismo hiperplano.

Entonces el método consiste en realizar una serie de transformaciones sobre el simplex S haciendo que el valor de la función en los vértices vaya siendo más pequeño y termina cuando el simplex es lo suficientemente pequeño o cuando los valores f_j están lo suficientemente cerca (suponiendo que f es continua).

Veámos a grandes rasgos cómo sería una iteración del algoritmo:

1. En primer lugar, hemos de determinar los índices h, s, l correspondientes al peor, al segundo peor y al mejor vértice, respectivamente, en el simplex S . Es decir,

$$f_h = \max_j f_j, \quad f_s = \max_{j \neq h} f_j, \quad f_l = \min_{j \neq h} f_j.$$

2. A continuación hemos de calcular el centroide del mejor lugar, que será el opuesto al peor vértice x_h :

$$c := \frac{1}{n} \sum_{j \neq h} x_j.$$

3. Y por último construir un nuevo simplex a partir del actual. Primero, intentamos reemplazar el peor vértice x_h por otro punto mejor utilizando ciertas transformaciones como reflexión, expansión o contracción con respecto al mejor lugar. Todos los puntos que se utilizan para testear la función han de estar en la recta determinada por x_h y por c y se calculan a lo sumo dos en cada iteración. Si encontramos un punto mejor, se convierte en el nuevo vértice del simplex, en caso contrario, realizamos una transformación que consiste en reducir el simplex al mejor punto x_l y calculamos n puntos más.

Las transformaciones que hemos planteado están controladas por ciertos parámetros: α para la reflexión, β para la contracción, γ para la expansión y δ para la reducción. Estos parámetros han de verificar las siguientes condiciones

$$\alpha > 0, \quad 0 < \beta < 1, \quad \gamma > 1, \quad \gamma > \alpha, \quad 0 < \delta < 1.$$

Y los valores que se suelen tomar son

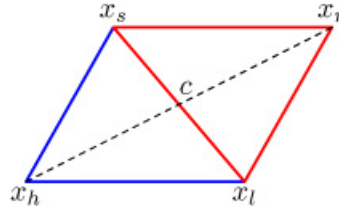
$$\alpha = 1, \quad \beta = \frac{1}{2}, \quad \gamma = 2, \quad \delta = \frac{1}{2}.$$

Veámos finalmente cómo se realizan dichas transformaciones y mostraremos cómo se va transformando el simplex, que aparecerá en color rojo en cada figura.

- **Reflexión:** calculamos el punto de reflexión como

$$x_r := c + \alpha(c - x_h)$$

y $f_r := f(x_r)$. Si $f_l < f_r < f_h$, nos quedamos con x_r y terminamos la iteración. El nuevo simplex quedaría como vemos en la siguiente figura:

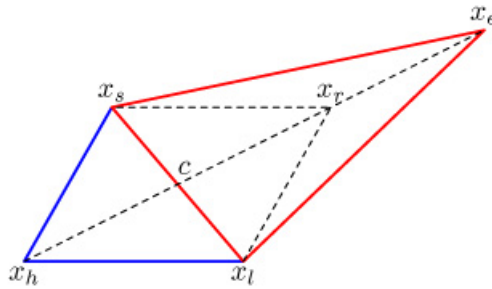


- **Expansión:** si $f_r < f_l$, calculamos el punto de expansión de la siguiente manera

$$x_e = c + \gamma(x_r - c)$$

y $f_e = f(x_e)$. Si $f_e < f_r$, nos quedamos con x_e y terminamos la iteración, en caso contrario tomaremos x_r .

Veámos como queda el nuevo simplex



- **Contracción:** si $f_r \geq f_s$, hemos de calcular el punto de contracción, x_c , utilizando el punto x_h o x_r en función de cuál sea mejor
 - **Exterior:** Si $f_s \leq f_r < f_h$, calculamos

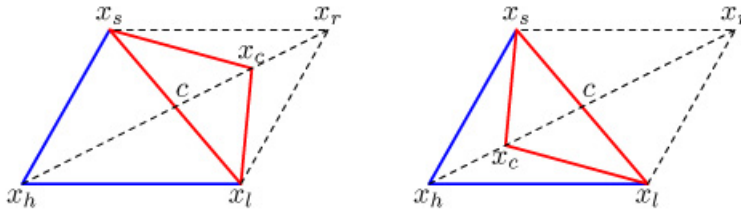
$$x_c := c + \beta(x_r - c) \text{ y } f_c = f(x_c).$$

Entonces si $f_c \leq f_r$, aceptamos x_c y terminamos la iteración.

- **Interior:** si $f_r \geq f_h$, calculamos

$$x_c := c + \beta(x_h - c) \text{ y } f_c = f(x_c).$$

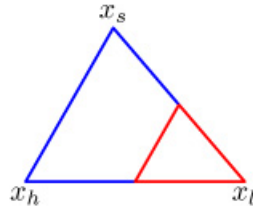
Si $f_c < f_h$, aceptamos x_c y terminamos la iteración, en caso contrario hemos de aplicar la transformación de reducción que explicamos después de mostrar la figura de cómo varía el simplex tras aplicar las posibles transformaciones de contracción.



- **Reducción:** Calculamos n vértices nuevos:

$$x_c := c + \delta(x_j - x_l) \text{ y } f_c = f(x_c)$$

para $j = 0, \dots, n$ con $j \neq l$. Y así obtendríamos el siguiente simplex:



Este algoritmo lo encontramos ya implementado en *Matlab* bajo el comando «fminsearch» y será el algoritmo elegido en la calibración del giroscopio.

Capítulo 3

Calibración del acelerómetro

La idea fundamental utilizada para calibrar el acelerómetro consiste en que la magnitud de la aceleración cuando el acelerómetro está estático ha de ser igual a la gravedad terrestre, teniendo en cuenta que la gravedad es una magnitud muy estable.

Pasemos a describir nuestro problema de calibración del acelerómetro y desarrollar la idea fundamental que acabamos de plantear.

Para la formulación del problema hemos de definir varios sistemas de referencia. En primer lugar, el sistema de referencia del acelerómetro que denotaremos por AF y que aunque debería ser ortogonal normalmente no lo es. En segundo lugar, podemos definir un sistema de referencia ideal para el acelerómetro, que llamaremos AOF , ortogonal y al que imponemos la siguientes condiciones:

- El eje x del sistema AOF coincide con uno de los ejes del sistema del acelerómetro.
- El eje y del sistema AOF se encuentra en el plano generado por los ejes x e y del sistema del acelerómetro.
- Sobre el eje z no imponemos ninguna restricción.

Y finalmente, el sistema de referencia correspondiente al chasis de WIMU que es ortogonal, que denotaremos por BF y que generalmente difiere del sistema AF en pequeños ángulos.

Como hemos visto en la sección 2.4.1, si tenemos una medición, a^s en un sistema no ortogonal (AF), lo podemos transformar al sistema de coordenadas ortogonal correspondiente al chasis de WIMU (BF) de la siguiente forma

$$s^B = T s^s, \quad T = \begin{pmatrix} 1 & -\theta_{yz} & \theta_{zy} \\ \theta_{xz} & 1 & -\theta_{zx} \\ -\theta_{xy} & \theta_{yx} & 1 \end{pmatrix}, \quad (3.1)$$

donde s^B representa dicha medición en el sistema BF .

Por otra parte, en nuestro algoritmo vamos a asumir que el sistema de coordenadas BF coincide con el ideal AOF definido anteriormente, de forma que por las condiciones que impusimos sobre AOF , θ_{xy} , θ_{xz} y θ_{yx} son cero. Entonces en el caso del acelerómetro la ecuación 3.1 nos quedaría como sigue

$$a^o = T a^s, \quad T = \begin{pmatrix} 1 & -\alpha_{yz} & \alpha_{zy} \\ 0 & 1 & \alpha_{zx} \\ 0 & 0 & 1 \end{pmatrix},$$

donde hemos cambiado las θ del caso general a α para nuestro caso particular, a^o es la aceleración medida en el sistema de referencia AOF y a^s es la aceleración medida por nuestro acelerómetro.

Pero el acelerómetro no sólo se ve afectado por problemas de ortogonalidad de sus ejes, si no que también tiene errores de sesgo y de escala. Entonces si definimos la matriz de cambio de escala como

$$K = \begin{pmatrix} s_x & 0 & 0 \\ 0 & s_y & 0 \\ 0 & 0 & s_z \end{pmatrix}$$

y el vector del error de sesgo como

$$b = \begin{pmatrix} b_x \\ b_y \\ b_z \end{pmatrix}.$$

Tendremos que

$$a^o = TK(a^s + b + v),$$

donde v es ruido blanco. Para poder eliminar el ruido blanco del modelo se decide promediar teniendo en cuenta que la esperanza de este tipo de error es cero como hemos visto en la sección 2.3.

Así, el modelo quedaría finalmente como

$$a^s = T^{-1}K^{-1}(a^o - b) = A(a^o - b), \quad (3.2)$$

donde $A = T^{-1}K^{-1} = (KT)^{-1}$ es también una matriz triangular superior.

De esta forma, para calibrar el acelerómetro necesitamos obtener el valor de los parámetros $\alpha_{yz}, \alpha_{zy}, \alpha_{xz}, s_x, s_y, s_z, b_x, b_y, b_z$.

Supongamos que tenemos $\{a_k^o\}_{k=1, \dots, n}$ mediciones recogidas con el sensor estático y con diferentes orientaciones, es decir, en una situación en la que no hay aceleración. Entonces la aceleración de la gravedad debe ser constante, además, sin pérdida de generalidad podemos suponer que dicha aceleración g es unitaria, es decir, $\|g\| = 1$. Por tanto, la norma de g es independiente del sistema de referencia.

De acuerdo con el modelo planteado en (3.2), esta restricción la podemos reescribir de la siguiente manera:

$$(a_k^o - b)^T A_l (a_k^o - b) = 1, \quad \forall k = 1 \dots N, \quad (3.3)$$

con $A_l = A^T A \in \mathbb{R}^{3 \times 3}$ simétrica y definida positiva.

Un punto importante de este método de calibración, [10], consiste en reconocer que la ecuación anterior, (3.3), es la ecuación de un elipsoide. De hecho, la ecuación implícita general de un elipsoide tridimensional viene dada por:

$$F(\bar{A}_l, c; x) = (x - c)^T \bar{A}_l (x - c) - 1 = 0, \quad (3.4)$$

donde c representa las coordenadas del centro del elipsoide y $\bar{A}_l \in \mathbb{R}^{3 \times 3}$ es una matriz simétrica y definida positiva.

Como consecuencia, cada una de las mediciones a_k^o deben estar en la superficie del elipsoide cuyo centro viene dado por el error de sesgo, b , luego estamos ante un problema de ajuste elipsoidal. Para encontrar el mejor ajuste minimizaremos la función no lineal:

$$\sum_{k=1}^N F(A_l, b; a_k^o)^2$$

que podemos reformular como

$$\sum_{k=1}^N (1 - \|A(a_k^o - b)\|)^2.$$

Tal y como se definió en la sección 2.9, estamos ante un ajuste por mínimos cuadrados no lineal.

El gran inconveniente al que nos enfrentamos en este tipo de problemas es la presencia de numerosos mínimos locales que no son mínimos globales y que, con nuestros datos experimentales, se vuelve especialmente conflictivo. Es por ello que se decide utilizar la técnica de regularizar nuestra función objetivo como se muestra en la sección 2.9.

Luego añadiremos un factor de regularización de forma que obliguemos a los valores de la matriz T que sean cercanos a 0, los valores de la escala que sean positivos y cercanos a 1 y los valores de sesgo también cercanos a 0. Es claro que este factor de regularización perderá peso cuando los datos sean más irregulares.

Con todo lo planteado, si notamos por θ al conjunto de parámetros que hemos de obtener, la función que se debe minimizar es la siguiente:

$$L(\theta, \lambda) = \sum_{k=1}^M \left\| \|g\| - \|T^a k^a (a_k^s + b)\| \right\|^2 \\ + \lambda (\alpha_{zy}^2 + \alpha_{yz}^2 + \alpha_{xz}^2 + (s_x - 1)^2 \\ + (s_y - 1)^2 + (s_z - 1)^2 + b_x^2 + b_y^2 + b_z^2).$$

Donde λ es el parámetro de regularización cuyo valor calcularemos en la sección 5. El algoritmo utilizado para la minimización será el algoritmo de Levenberg-Marquardt presentado en la sección 2.6. Este algoritmo se encuentra implementado en *Matlab*. Lo utilizaremos a través del comando *lsqnonlin* e indicándolo de forma explícita en las opciones.

3.1. Detección de periodos estáticos y búsqueda de similitudes entre bloques parados

Para nuestro método de calibración hemos de ser capaces de detectar los periodos en los que WIMU está estático.

Para ello, hemos construido un detector que nos permitirá conocer los periodos de tiempo en los que la WIMU se encuentre estático y en los que esté en movimiento y almacenar los datos correspondientes.

Este detector se va a basar en la señal emitida por el acelerómetro durante un tiempo de t_w segundos y en el cálculo de su varianza

$$\varsigma(t_w) = \sqrt{[var_{t_w}(a_x)]^2 + [var_{t_w}(a_y)]^2 + [var_{t_w}(a_z)]^2},$$

donde a_x, a_y, a_z son las aceleraciones medidas durante ese tiempo en los ejes x, y, z respectivamente y $var_{t_w}(a^t)$ es un operador que calcula la varianza de una señal a^t en un intervalo de tiempo de longitud t_w segundos centrados en t .

Entonces diremos que el dispositivo está parado o en movimiento si $\zeta(t_w)^2$ es mayor o menor que una cierta cota. Esta cota la obtendremos calculando $\zeta(t_w)^2$ en un periodo de tiempo inicial, en el que tenemos asegurado que la WIMU está estático. Es por ello, por lo que es necesario que al encender el dispositivo permanezca estático durante aproximadamente dos segundos.

Por tanto nuestra cota será $\zeta(t_w)^2$ en un periodo inicial multiplicado por un entero que, de acuerdo a nuestros datos, hemos elegido como 2.

De esta forma, vamos a poder conocer los momentos en los que la WIMU esté parado y durante cuánto tiempo lo está. Y esta será la información necesaria para proceder a calibrar nuestro sensor.

Cuando los momentos de parada sean muy cortos, en nuestro caso menores a 100 datos, los desecharemos y cuando sean mayores los pasaremos a nuestra función para obtener los parámetros que nos permitirán calibrar todos los datos.

La detección de similitudes entre bloques consecutivos se ha realizado para solventar los problemas que se pudieran plantear en circunstancias como las que se presentan a continuación:

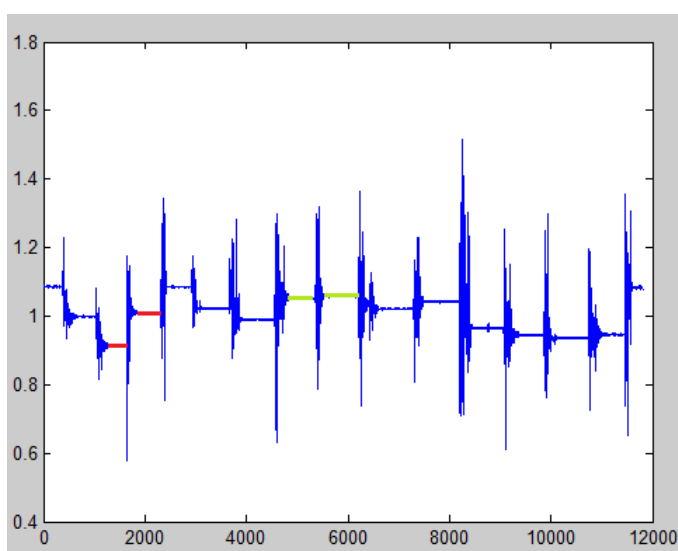


Figura 3.1: Longitud del vector aceleración.

Como podemos observar en esta figura, algunos bloques de parada difieren mucho de otros y sin embargo otros son bastante similares. Por tanto buscaremos aquellos que sean similares y consecutivos para realizar nuestra calibración y los que sean diferentes se calibrarán de forma independiente.

Para ello, diremos que dos bloques son similares si al realizar la media de todos los datos de aceleración de dos bloques consecutivos y calcular el módulo del vector resultante difieren en menos de una cierta cota que, de acuerdo a nuestros datos, hemos elegido 0.02.

3.2. Algoritmo

La calibración del acelerómetro la hemos estructurado en distintas funciones: detección y búsqueda de similitudes de bloques parados, selección de datos, construcción de la función objetivo, minimización y calibración. Pasemos a describirlos uno a uno:

1. Detección de periodos estáticos y búsqueda de similitudes entre bloques parados

Como hemos dicho con anterioridad, en el algoritmo que se presenta tiene especial importancia la detección de momentos estáticos y momentos en movimiento. Esta detección se realizará estableciendo una cota a partir de la variabilidad que muestra el sensor que se necesita calibrar en los datos proporcionados en un periodo inicial en el que ha de estar en reposo.

Una vez detectados los periodos estáticos y de movimiento, se tomarán los bloques estáticos que consideremos suficientemente largos, en nuestro caso de más de cien datos, y comprobaremos si los bloques son similares o no.

Esta comprobación se realizará calculando la media de las longitudes de los vectores en los distintos bloques parados y viendo si la diferencia entre dos bloques contiguos es superior a una cierta cota, que hemos elegido como 0.02.

2. Selección de datos

La selección de datos la iremos haciendo mientras los bloques de parada vayan siendo similares, en el momento que difieran más de lo permitido se procederá a la calibración con los datos seleccionados hasta el

momento y posteriormente volveremos a seleccionar los datos necesarios. El proceso de selección consiste en escoger dentro de cada bloque estático, que como hemos dicho anteriormente ha de ser de más de 100 datos, 99 datos (la longitud mínima del bloque menos uno).

La forma de elegir los datos será a partir del primero del bloque, iremos recorriendo el vector de datos y escogeremos los datos de forma que guardemos el dato que se encuentre en la posición dada por el contador que recorre el vector multiplicado por un paso. Este paso lo tomaremos como el entero más cercano a la longitud del bloque dividido por 100.

3. Construcción de la función objetivo y minimización

Una vez que ya tenemos los datos seleccionados de bloques estáticos similares pasamos a la obtención de los parámetros de las matrices T , K y b .

Para ello, construimos la función descrita en la sección 3

$$L(\theta, \lambda) = \sum_{k=1}^M \left\| \|g\| - \|T^a k^a (a_k^s + b)\| \right\|^2 \\ + \lambda (\alpha_{zy}^2 + \alpha_{yz}^2 + \alpha_{xz}^2 + (s_x - 1)^2 + (s_y - 1)^2 \\ + (s_z - 1)^2 + b_x^2 + b_y^2 + b_z^2),$$

donde M es el número de datos seleccionados dividido entre diez, pues los datos seleccionados los promediamos de diez en diez con el objetivo de eliminar el ruido blanco que nos aparecía en la ecuación del error.

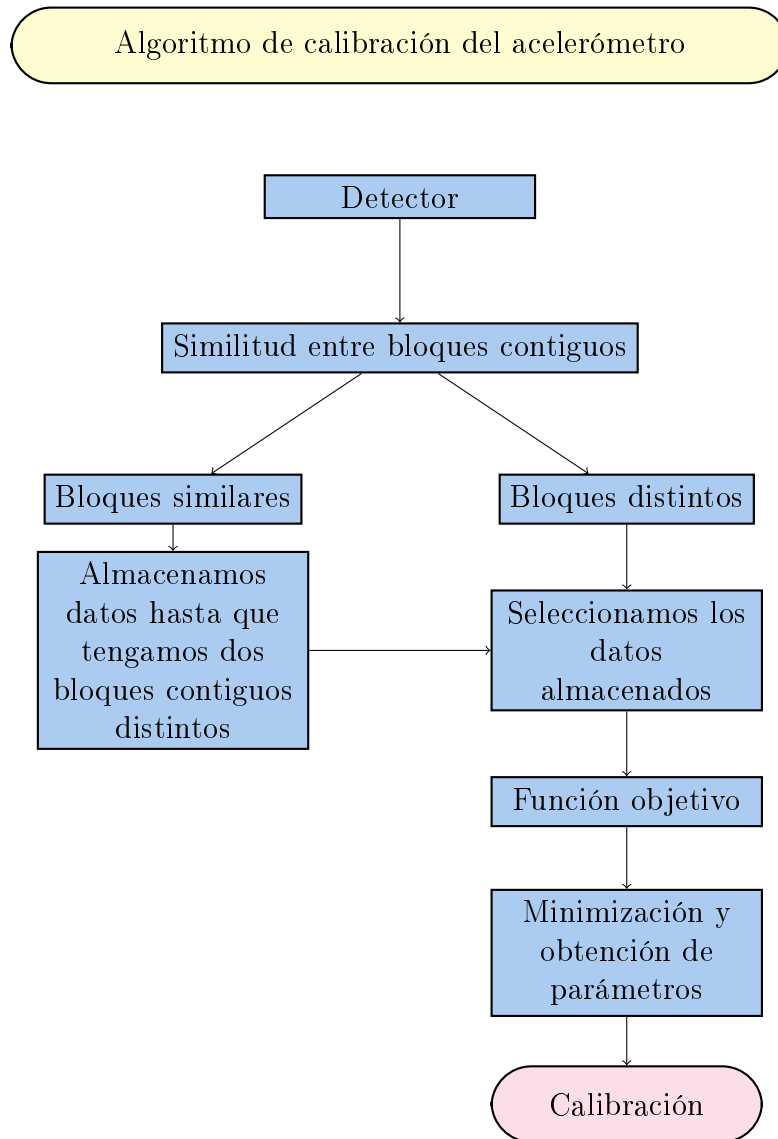
Obtendremos los parámetros buscados introduciendo dicha función en el algoritmo de minimización de Levenberg-Marquardt implementado en *Matlab*, con valores iniciales $[0, 0, 0, 1, 1, 1, 0, 0, 0]$ donde los ceros se corresponden con los parámetros de la matriz T , que nos daba el cambio de sistema de referencia y al vector b que contenía los errores de sesgo, y los unos se corresponden con los parámetros de la matriz de escala.

4. Calibración de los datos

Una vez que ya tenemos calculados los parámetros de las matrices T , K y b procedemos a la calibración de los datos hasta el momento en el que hemos encontrado una diferencia mayor que la permitida entre los bloques estáticos.

Esta calibración la haremos multiplicando por las matrices T , K los datos correspondientes al inicio del primer bloque parado hasta el último dato del último bloque parado que eran similares y restándoles el error de sesgo b .

En los tramos de transición entre dos bloques diferentes multiplicaremos por la media entre las matrices T , K del bloque anterior y el bloque nuevo y restándole también la media entre los errores de sesgo correspondientes a los dos bloques.



Capítulo 4

Calibración del giroscopio

La idea fundamental utilizada para la calibración del giroscopio consiste en que el vector gravedad proporcionado por el acelerómetro calibrado ha de ser el mismo que el vector de gravedad calculado al integrar las velocidades angulares proporcionadas por el giroscopio.

Pasemos a describir formalmente nuestro problema y desarrollar la idea que acabamos de plantear.

En el caso del giroscopio tenemos de nuevo un sistema de referencia no ortogonal, GF , correspondiente al sensor, un sistema de referencia ideal ortogonal, GOF y el sistema de referencia del chasis que claramente es el mismo que para el acelerómetro BF .

Para la calibración del giroscopio haremos uso de los datos calibrados del acelerómetro, por tanto, necesitamos que ambos sensores compartan el mismo sistema de referencia, que será el sistema AOF . Por tanto, haremos el cambio de sistema de referencia, presentado en la sección 2.4.1, de un sistema de referencia no ortogonal a uno ortogonal.

Al igual que el acelerómetro, el giroscopio también se ve afectado por errores de sesgo y de escala, por tanto, el modelo de error del sensor se puede plantear de forma análoga al del acelerómetro como

$$\omega^o = T^g K^g (\omega^s + b^g + v^g),$$

donde ω^o denotan los datos tomados por el giroscopio, ω^s corresponde a los valores sin errores que deberíamos tener, T^g es la matriz de cambio de

sistema de referencia que ortogonaliza el sistema GF , K^g es la matriz de escala, b^g el vector que contiene los errores de sesgo y v^g es ruido blanco que podremos despreciar realizando ciertos promedios.

Pero promediando, no sólo eliminaremos el ruido blanco si no que supondremos que también podemos desechar el error de sesgo restándole a todos los datos la media de los datos durante un bloque estático suficientemente largo.

Como hemos dicho en la idea fundamental, hemos de ser capaces de calcular la orientación a partir de las velocidades angulares proporcionadas por el giroscopio. Para ello definimos Ψ como un operador que toma una secuencia de n lecturas del giroscopio ω_i^o y un vector inicial de gravedad, $u_{0,k-1}$, proporcionado por el acelerómetro calibrado y devuelve el vector de gravedad final $u_{g,k}$ calculado utilizando las mediciones del giroscopio entre el $(k-1)$ -ésimo y el k -ésimo intervalo estático.

$$u_{g,k} = \Psi[\omega_i^o, u_{0,k-1}],$$

donde Ψ representa algún algoritmo de integración que calcula la orientación integrando las velocidades angulares. En este caso, la orientación vendrá representada por cuaterniones, de forma que en cada paso i , el cuaternión q_i está relacionado con el cuaternión del paso anterior, q_{i-1} por la siguiente ecuación:

$$q_i = \left[\cos(0,5 |\delta\beta|)I + \frac{1}{|\delta\beta|} \text{sen}(0,5 |\delta\beta|)B \right] q_{i-1},$$

$$\text{donde } \delta\beta = \omega_i^o, |\delta\beta| = \sqrt{\delta\beta_x^2 + \delta\beta_y^2 + \delta\beta_z^2},$$

$$B = \begin{pmatrix} 0 & \delta\beta_x & \delta\beta_y & \delta\beta_z \\ -\delta\beta_x & 0 & \delta\beta_z & -\delta\beta_y \\ -\delta\beta_y & -\delta\beta_z & 0 & \delta\beta_x \\ -\delta\beta_z & \delta\beta_y & -\delta\beta_x & 0 \end{pmatrix}.$$

e I es la matriz identidad de tamaño 4×4 . Así, podemos utilizar el cuaternión anterior para calcular el cuaternión actual. Utilizando el cuaternión inicial $q_{0,k-1}$ correspondiente al último dato de cada bloque parado $k-1$ (para $k \geq 2$) y la secuencia de mediciones tomadas del giroscopio ω_i^o para $i = 1, \dots, n$, se puede obtener el cuaternión q_n en el paso $i = n$ y por tanto, la matriz de rotación correspondiente a q_n (es decir, estamos aplicando al vector proporcionado por el giroscopio el teorema demostrado en la sección 2.4.4).

$$R = \begin{pmatrix} q_0^2 + q_1^2 - q_2^2 - q_3^2 & 2(q_1q_2 - q_0q_3) & 2(q_1q_3 + q_0q_2) \\ 2(q_1q_2 + q_0q_3) & q_0^2 - q_1^2 + q_2^2 - q_3^2 & 2(q_2q_3 - q_0q_1) \\ 2(q_1q_3 - q_0q_2) & 2(q_2q_3 + q_0q_1) & q_0^2 - q_1^2 - q_2^2 + q_3^2 \end{pmatrix}.$$

Entonces tendremos que

$$u_{g,k} = Ru_{0,k-1}.$$

Y los parámetros correspondientes a las matrices de T^g y K^g los obtendremos minimizando la siguiente ecuación

$$\sum_{k=2}^{m-1} \|u_{a,k} - u_{g,k}\|,$$

donde $u_{a,k}$ es el primer dato proporcionado por el acelerómetro en el bloque parado k . En caso de que no hubiera errores en el sensor ni en el algoritmo de integración tendríamos que $\|u_{a,k} - u_{g,k}\| = 0$.

4.1. Algoritmo

En la calibración del giroscopio, al igual que en el acelerómetro, hemos utilizado distintas funciones: eliminar error de sesgo, función objetivo que necesita de las funciones algoritmo de integración Runge-Kutta de orden cuatro, transformación del vector dado por el giroscopio a cuaterniones y construcción de la matriz de rotación, minimización y por último calibración.

1. Eliminar error de sesgo

Esta parte consiste únicamente en calcular la media en cada eje de las velocidades angulares proporcionadas por el giroscopio durante el primer bloque parado suficientemente grande, que detectamos en la parte de calibración del acelerómetro con la función «detector», y restar el resultado a todas las salidas proporcionadas por el giroscopio (en cada eje la media de los datos correspondiente al mismo).

2. Función objetivo

Esta función es la que nos permite calcular los parámetros de las matrices T^g y K^g y consiste en construir la función

$$\sum_{k=2}^{m-1} \|u_{a,k} - u_{g,k}\|$$

vista en la sección anterior para la que utilizaremos los datos del acelerómetro calibrados anteriormente. Pero como hemos dicho, para poder construirla hemos de hacer uso de otras funciones que presentamos a continuación:

- **Transformación del vector dado por el giroscopio a cuaterniones**

Para evitar singularidades y para disminuir el coste computacional la integración Runge-Kutta de cuarto orden la aplicaremos sobre cuaterniones que representen las velocidades angulares dadas por el giroscopio. Para ello creamos una función que transforme el vector correspondiente al último dato de cada bloque parado en un cuaternión. Utilizando, como vimos anteriormente, la siguiente transformación

$$q_i = \left[\cos(0,5 |\delta\beta|)I + \frac{1}{|\delta\beta|} \text{sen}(0,5 |\delta\beta|)B \right] q_{i-1},$$

donde $\delta\beta = \omega_i^o$, $|\delta\beta| = \sqrt{\delta\beta_x^2 + \delta\beta_y^2 + \delta\beta_z^2}$ y

$$B = \begin{pmatrix} 0 & \delta\beta_x & \delta\beta_y & \delta\beta_z \\ -\delta\beta_x & 0 & \delta\beta_z & -\delta\beta_y \\ -\delta\beta_y & -\delta\beta_x & 0 & \delta\beta_x \\ -\delta\beta_z & \delta\beta_y & -\delta\beta_x & 0 \end{pmatrix}.$$

- **Integración utilizando el método de Runge-kutta de cuarto orden**

Veámos cómo es este algoritmo de integración para la función

$$f(\mathbf{q}, t) = \frac{1}{2}B\mathbf{q}$$

que necesitamos integrar, donde B es la matriz definida en el apartado anterior. Los pasos son los siguientes:

$$\begin{aligned} \mathbf{q}_{k+1} &= \mathbf{q}_k + \Delta t \frac{1}{6}(K_1 + 2K_2 + 2K_3 + K_4), \\ K_i &= f(\mathbf{q}^{(i)}, t_k + c_i \Delta t), \\ \mathbf{q}^{(i)} &= \mathbf{q}_k, && \text{para } i = 1, \\ \mathbf{q}^{(i)} &= \mathbf{q}_k \Delta t \sum_{j=1}^{i-1} a_{ij} K_j, && \text{para } i > 1, \end{aligned}$$

donde los coeficientes vienen dados por

$$\begin{aligned} c_1 &= 0, & c_2 &= \frac{1}{2}, & c_3 &= \frac{1}{2}, & c_4 &= 1, \\ a_{21} &= \frac{1}{2}, & a_{31} &= 0, & a_{41} &= 0, \\ a_{32} &= \frac{1}{2}, & a_{42} &= 0, \\ a_{43} &= 1. \end{aligned}$$

Finalmente, normalizamos cada uno de los cuaterniones, es decir,

$$\mathbf{q}_{k+1} = \frac{\mathbf{q}_{k+1}}{\|\mathbf{q}_{k+1}\|}.$$

■ Construcción de la matriz de rotación

Consiste en calcular la matriz de rotación que nos proporciona la información necesaria acerca de cómo ha cambiado la orientación desde el último dato proporcionado por el giroscopio en el bloque parado $k - 1$ hasta el inicio del siguiente bloque estático.

Esto lo haremos a partir del último cuaternión calculado por el algoritmo de integración y expresándolo como matriz de rotación de la siguiente forma, si $\mathbf{q}_n = [q_0 \ q_1 \ q_2 \ q_3]$ entonces

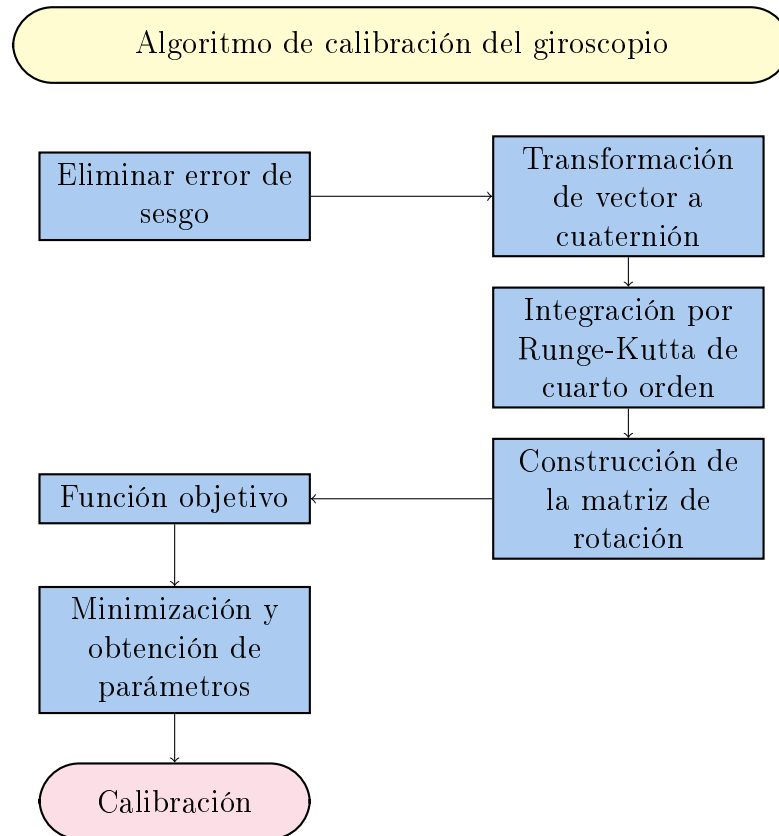
$$R = \begin{pmatrix} q_0^2 + q_1^2 - q_2^2 - q_3^2 & 2(q_1q_2 - q_0q_3) & 2(q_1q_3 + q_0q_2) \\ 2(q_1q_2 + q_0q_3) & q_0^2 - q_1^2 + q_2^2 - q_3^2 & 2(q_2q_3 - q_0q_1) \\ 2(q_1q_3 - q_0q_2) & 2(q_2q_3 + q_0q_1) & q_0^2 - q_1^2 - q_2^2 + q_3^2 \end{pmatrix}.$$

3. Minimización

Una vez calculada la función objetivo, obtenemos los parámetros correspondientes a las matrices T^g y K^g aplicando el algoritmo de minimización implementado en «Matlab» dado por el comando «fminsearch» y a partir del valor inicial $[1, 0, 0, 0, 1, 0, 0, 0, 1]$ donde los ceros se corresponden a los parámetros iniciales de la matriz de ortogonalización y los unos con los parámetros iniciales de la matriz de escala.

4. Calibración

Por último multiplicamos las matrices T^g y K^g por los datos proporcionados por el giroscopio quitándole el error de sesgo.



Capítulo 5

Resultados experimentales

En esta sección mostraremos las distintas pruebas experimentales que se han realizado y las conclusiones obtenidas.

En primer lugar, para la calibración del acelerómetro podemos distinguir cuatro partes fundamentales: el correcto funcionamiento del detector de periodos estáticos, estimación del parámetro de regularización y calibración de datos sintéticos y datos experimentales.

Procedamos a describir cada uno de los experimentos:

- **Correcto funcionamiento del detector de periodos estáticos**

Para la realización de este experimento hemos utilizado datos de *WIMU* proporcionados por Realtrack Systems.

Para ver los resultados se mostrarán a continuación dos gráficas correspondientes a dos conjuntos de datos diferentes. En ambas, se observan las longitudes de los vectores de aceleración durante toda la sesión (gráfica que veremos en color azul) y aparecerá en color rojo los tramos en el que el detector considera que el sensor está en reposo.

El primer experimento se realiza colocando en la espalda de una persona el dispositivo *WIMU*. Esta persona realiza saltos y paradas, siempre con un periodo estático inicial de dos segundos aproximadamente. Los resultados obtenidos son los siguientes:

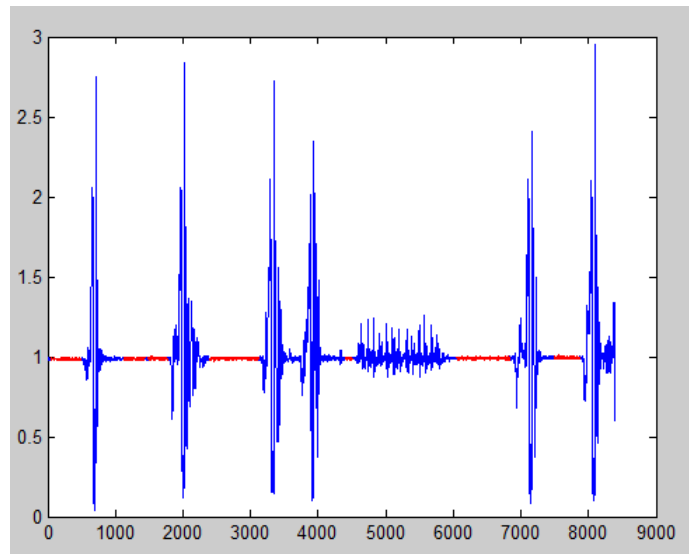


Figura 5.1: Detección de periodos estáticos.

El siguiente experimento se ha realizado colocando a *WIMU* sobre cada una de sus caras y aristas y obtenemos lo siguiente:

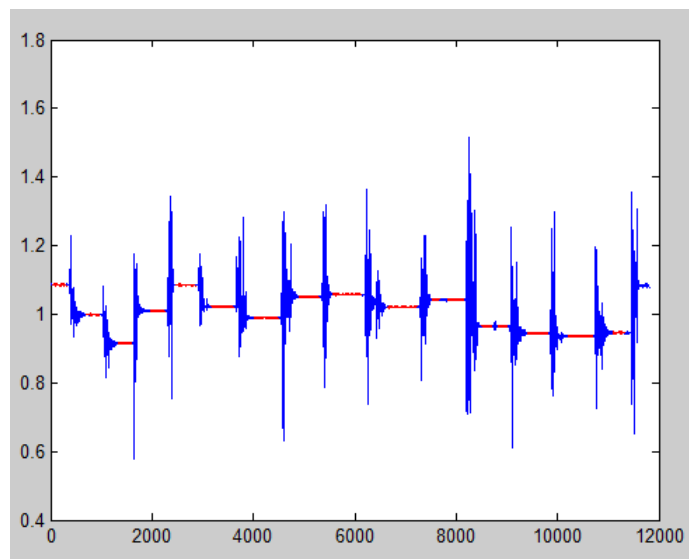


Figura 5.2: Detección de periodos estáticos.

Observamos que el detector actúa de forma satisfactoria, pues como se observa en las figuras 5.1, 5.2 las zonas coloreadas en rojo coinciden con los momentos en los que el módulo de los vectores de aceleración permanecen constantes.

- **Estimación del parámetro de regularización. Método L-Curve**

Hay distintos criterios para obtener el parámetro de regularización óptimo, aunque no siempre es posible. En nuestro caso, hemos utilizado el criterio L-Curve que consiste en una representación gráfica de la norma de la solución regularizada, $\|\theta\|$, frente a la norma nuestra función $\|L(\theta, \lambda)\|$ para distintos valores de λ .

Esta representación normalmente tiene forma de L , con un vértice diferenciado que separa la parte vertical de la horizontal de la curva y se corresponderá con el parámetro óptimo. Para hacer este vértice más prominente se suele realizar la gráfica en escala logarítmica.

Este vértice separa la parte superior (más vertical) correspondiente a valores pequeños del parámetro λ , de la parte inferior (más horizontal) correspondientes a valores más grandes de dicho parámetro.

En nuestro caso el vértice es ya visible en la escala usual, como vemos a continuación

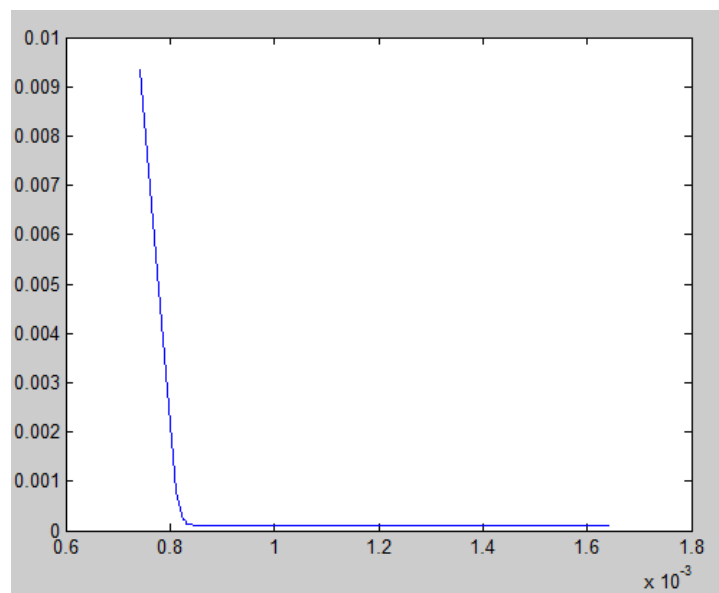


Figura 5.3: L-curve.

Aunque lo podemos detectar de forma mucho más evidente utilizando la escala logarítmica

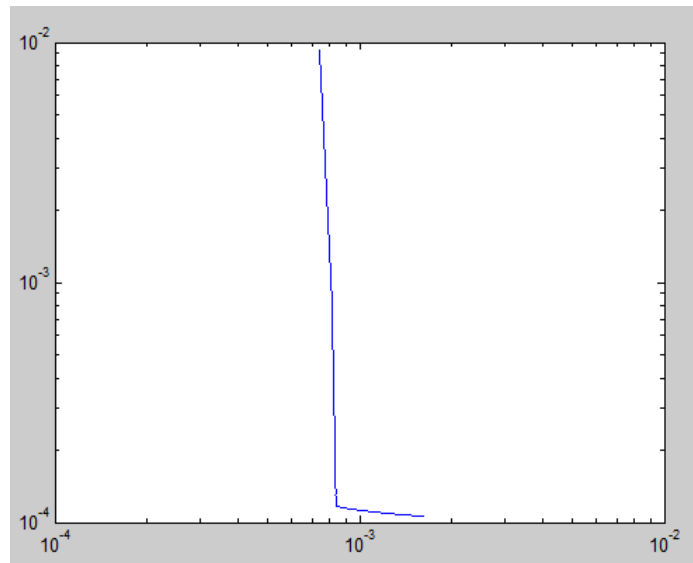


Figura 5.4: L-curve en escala logarítmica.

Así, en nuestro caso obtendremos que el valor óptimo de λ es 0,061.

■ Calibración de datos sintéticos

Para esta parte del experimento creamos unos datos sintéticos y le aplicamos el algoritmo de calibración propuesto.

Los datos los generamos de la siguiente forma:

1. Generamos una matriz de tres filas (que corresponderían a cada eje) y las columnas que consideremos necesarias en función del número de datos que queramos crear, por ejemplo, doce columnas. Esta matriz estará formada por números aleatorios que acto seguido normalizaremos. Es decir, dividiremos el valor de cada fila entre la norma del vector correspondiente.
2. A continuación hacemos repeticiones de cada una de las columnas, el número de repeticiones dependerá de nuevo de la cantidad de datos que queramos obtener, podemos utilizar, por ejemplo, cien repeticiones de cada columna.
3. Posteriormente rotaremos los datos, les cambiaremos la escala y le añadiremos un error de sesgo que luego al aplicar el algoritmo de calibración trataremos de recuperar.

Las matrices que se han utilizado para realizar estas transformaciones son:

- Matriz de rotación:

$$R = \begin{pmatrix} 1 & 0,2 & 0,4 \\ 0 & 1 & 0,3 \\ 0 & 0 & 1 \end{pmatrix}.$$

- Matriz de escala

$$E = \begin{pmatrix} 1,2 & 0 & 0 \\ 0 & 0,8 & 0 \\ 0 & 0 & 1,3 \end{pmatrix}.$$

- Vector de sesgo

$$B = \begin{pmatrix} 0,5 \\ -0,3 \\ 0,2 \end{pmatrix}.$$

4. Aplicamos las transformaciones a los datos obtenidos tras las repeticiones. Si llamamos estos datos como *repetidos* y los datos finales como *sintéticos* la transformación se aplicaría de la siguiente forma:

$$\textit{sintéticos} = (R * E)^{-1} * (\textit{repetidos} + B).$$

5. Finalmente le añadimos a los datos creados un ruido blanco de entorno al 10%.

Una vez tenemos los datos aplicamos el algoritmo de calibración y los obtenemos:

- Matriz de rotación:

$$R = \begin{pmatrix} 1 & 0,1531 & 0,3605 \\ 0 & 1 & 0,30735 \\ 0 & 0 & 1 \end{pmatrix}.$$

- Matriz de escala

$$E = \begin{pmatrix} 1,0485 & 0 & 0 \\ 0 & 0,8999 & 0 \\ 0 & 0 & 1,1444 \end{pmatrix}.$$

- Vector de sesgo

$$B = \begin{pmatrix} 0,4782 \\ -0,2877 \\ 0,2158 \end{pmatrix}.$$

■ Calibración de datos experimentales

Los datos experimentales a los cuales aplicaremos la calibración coincidirán con los datos utilizados en el detector de periodos estáticos. En este caso mostraremos gráficamente los resultados, puesto que no podemos hacerlo de forma numérica.

En el primer experimento, los datos recogidos son considerablemente buenos pues la aceleración afecta sólo a un eje. Por tanto, la mejoría se aprecia levemente. La longitud de los vectores de aceleración de los datos sin calibrar tienen la siguiente representación:

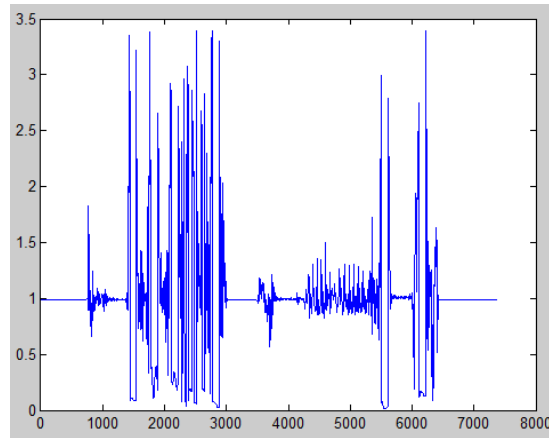


Figura 5.5: Módulo de los vectores de aceleración sin calibrar.

El resultado tras la calibración es

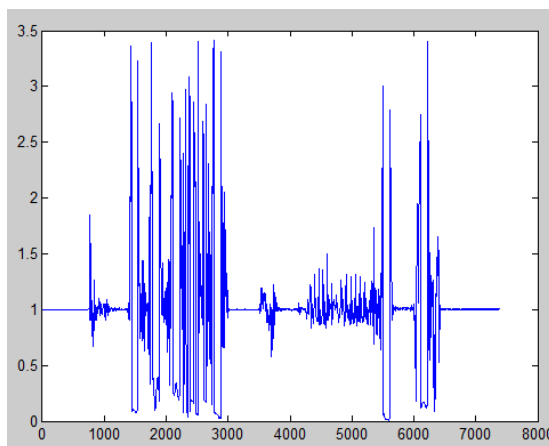


Figura 5.6: Módulo de los vectores de aceleración calibrados.

En el caso en el que se coloca el dispositivo sobre cada una de sus caras y aristas la mejoría es más evidente.

En el caso de los datos sin calibrar obtenemos

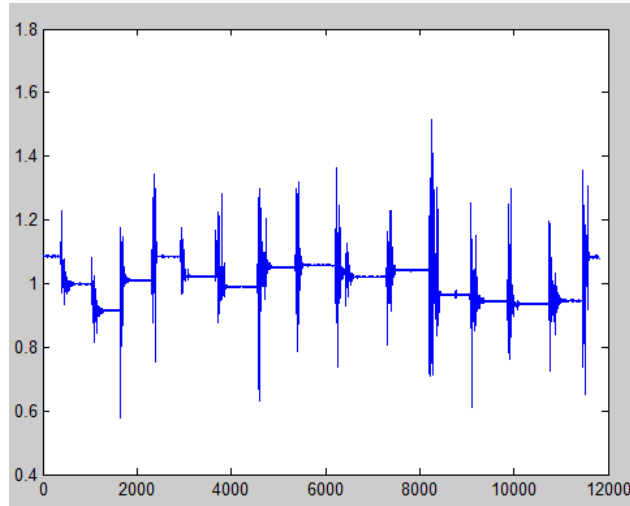


Figura 5.7: Módulo de los vectores de aceleración sin calibrar.

Y tras aplicar el algoritmo de calibración:

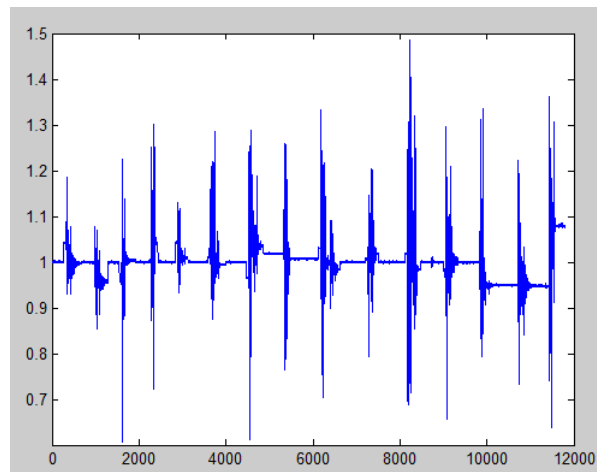


Figura 5.8: Módulo de los vectores de aceleración calibrados.

Podemos observar que en los momentos en los que el dispositivo está parado el módulo es mucho más consistente y cercano al valor de la fuerza de gravedad (que recordemos tomamos como 1).

En el caso de la calibración del giroscopio no hemos obtenido una mejora considerable respecto a los datos proporcionados por el sensor. Esto se debe a que este sensor se encuentra poco descalibrado y que nuestro algoritmo introduce pequeños errores por la utilización del algoritmo de integración Runge-Kutta de cuarto orden.

Capítulo 6

Líneas de trabajo futuro

El problema principal al que nos gustaría enfrentarnos es la implementación del algoritmo de calibración en *WIMU*, que está en periodo de desarrollo, y su funcionamiento de forma autónoma y en tiempo real. Es decir, el objetivo es que el dispositivo se calibre de forma automática cuando sea necesario, impidiendo que los errores de calibración se acumulen.

Por supuesto, intentando que la calibración se haga de forma eficiente y sin que suponga un gran coste computacional.

Además, nos gustaría mejorar el algoritmo de Levenberg-Marquardt que en ciertos momentos no encuentra bien el mínimo global por la existencia de numerosos mínimos locales. Si esta medida se llevara a cabo nos permitiría eliminar la regularización.

Respecto a la calibración del giroscopio nos gustaría aplicar el algoritmo a giroscopios cuyos errores de calibración sean mayores y además mejorar el algoritmo de minimización utilizado. La necesidad de esta última mejora vendría dada por la lentitud que presenta en algunas ocasiones para encontrar el mínimo.

Y finalmente, y uno de los objetivos de mayor interés es, la fusión de la información proporcionada por el *GPS* y la proporcionada por los sensores que constituyen *IMU*, es decir, la *actitud*.

La necesidad de esta fusión se debe a que en interiores o en lugares con muchas edificaciones altas el *GPS* no es una fuente de información fiable y es, cuando debe tener un mayor papel la *actitud*.

Una de las ideas que se podría utilizar para realizar esta fusión, la podemos ver en [25]. En este artículo se plantea la utilización de un filtro de Kalman que permita integrar la información de varios sensores del mismo tipo (lo que sería especialmente adecuado en *WIMU* que integra cuatro acelerómetros)

y fusionarla con la información dada por el *GPS*. Esta fusión se haría en función de que tenga más credibilidad el *GPS*, la *actitud* o ambos por igual. Esta «credibilidad» vendrá determinada por una función *fuzzy*.

Aunque como se ha dicho podría ser una opción, habría que buscar distintas opciones y buscar aquella que se adecue más al dispositivo que estamos tratando y que sea más óptima en cuanto a las necesidades de la empresa, Realtrack Systems.

Apéndice A

Código Matlab

A.1. Calibración del acelerómetro y del giroscopio

```
1
2  %%%%% CALIBRACIÓN ACELERÓMETRO %%%%%
3  giro=importdata('F:\Realtracksystems\Funciones\
4     caraaristas.mat');
5  datos=giro';
6  total_sample=length(datos(1,:));
7  a_xp = datos(1,:);
8  a_yp = datos(2,:);
9  a_zp = datos(3,:);
10 signal = [a_xp;a_yp; a_zp];
11 [matriz_intervalo_estatico ,cambios_longitud]=detector(
12     a_xp,a_yp,a_zp,total_sample); %Matriz que indica los
13     bloques parados de más de 100 datos
14
15
16
17
18
19
20
21
22
23
24
25
26
27
28
29
30
31
32
33
34
35
36
37
38
39
40
41
42
43
44
45
46
47
48
49
50
51
52
53
54
55
56
57
58
59
60
61
62
63
64
65
66
67
68
69
70
71
72
73
74
75
76
77
78
79
80
81
82
83
84
85
86
87
88
89
90
91
92
93
94
95
96
97
98
99
100
101
102
103
104
105
106
107
108
109
110
111
112
113
114
115
116
117
118
119
120
121
122
123
124
125
126
127
128
129
130
131
132
133
134
135
136
137
138
139
140
141
142
143
144
145
146
147
148
149
150
151
152
153
154
155
156
157
158
159
160
161
162
163
164
165
166
167
168
169
170
171
172
173
174
175
176
177
178
179
180
181
182
183
184
185
186
187
188
189
190
191
192
193
194
195
196
197
198
199
200
201
202
203
204
205
206
207
208
209
210
211
212
213
214
215
216
217
218
219
220
221
222
223
224
225
226
227
228
229
230
231
232
233
234
235
236
237
238
239
240
241
242
243
244
245
246
247
248
249
250
251
252
253
254
255
256
257
258
259
260
261
262
263
264
265
266
267
268
269
270
271
272
273
274
275
276
277
278
279
280
281
282
283
284
285
286
287
288
289
290
291
292
293
294
295
296
297
298
299
300
301
302
303
304
305
306
307
308
309
310
311
312
313
314
315
316
317
318
319
320
321
322
323
324
325
326
327
328
329
330
331
332
333
334
335
336
337
338
339
340
341
342
343
344
345
346
347
348
349
350
351
352
353
354
355
356
357
358
359
360
361
362
363
364
365
366
367
368
369
370
371
372
373
374
375
376
377
378
379
380
381
382
383
384
385
386
387
388
389
390
391
392
393
394
395
396
397
398
399
400
401
402
403
404
405
406
407
408
409
410
411
412
413
414
415
416
417
418
419
420
421
422
423
424
425
426
427
428
429
430
431
432
433
434
435
436
437
438
439
440
441
442
443
444
445
446
447
448
449
450
451
452
453
454
455
456
457
458
459
460
461
462
463
464
465
466
467
468
469
470
471
472
473
474
475
476
477
478
479
480
481
482
483
484
485
486
487
488
489
490
491
492
493
494
495
496
497
498
499
500
501
502
503
504
505
506
507
508
509
510
511
512
513
514
515
516
517
518
519
520
521
522
523
524
525
526
527
528
529
530
531
532
533
534
535
536
537
538
539
540
541
542
543
544
545
546
547
548
549
550
551
552
553
554
555
556
557
558
559
560
561
562
563
564
565
566
567
568
569
570
571
572
573
574
575
576
577
578
579
580
581
582
583
584
585
586
587
588
589
590
591
592
593
594
595
596
597
598
599
600
601
602
603
604
605
606
607
608
609
610
611
612
613
614
615
616
617
618
619
620
621
622
623
624
625
626
627
628
629
630
631
632
633
634
635
636
637
638
639
640
641
642
643
644
645
646
647
648
649
650
651
652
653
654
655
656
657
658
659
660
661
662
663
664
665
666
667
668
669
670
671
672
673
674
675
676
677
678
679
680
681
682
683
684
685
686
687
688
689
690
691
692
693
694
695
696
697
698
699
700
701
702
703
704
705
706
707
708
709
710
711
712
713
714
715
716
717
718
719
720
721
722
723
724
725
726
727
728
729
730
731
732
733
734
735
736
737
738
739
740
741
742
743
744
745
746
747
748
749
750
751
752
753
754
755
756
757
758
759
760
761
762
763
764
765
766
767
768
769
770
771
772
773
774
775
776
777
778
779
780
781
782
783
784
785
786
787
788
789
790
791
792
793
794
795
796
797
798
799
800
801
802
803
804
805
806
807
808
809
810
811
812
813
814
815
816
817
818
819
820
821
822
823
824
825
826
827
828
829
830
831
832
833
834
835
836
837
838
839
840
841
842
843
844
845
846
847
848
849
850
851
852
853
854
855
856
857
858
859
860
861
862
863
864
865
866
867
868
869
870
871
872
873
874
875
876
877
878
879
880
881
882
883
884
885
886
887
888
889
890
891
892
893
894
895
896
897
898
899
900
901
902
903
904
905
906
907
908
909
910
911
912
913
914
915
916
917
918
919
920
921
922
923
924
925
926
927
928
929
930
931
932
933
934
935
936
937
938
939
940
941
942
943
944
945
946
947
948
949
950
951
952
953
954
955
956
957
958
959
960
961
962
963
964
965
966
967
968
969
970
971
972
973
974
975
976
977
978
979
980
981
982
983
984
985
986
987
988
989
990
991
992
993
994
995
996
997
998
999
1000
1001
1002
1003
1004
1005
1006
1007
1008
1009
1010
1011
1012
1013
1014
1015
1016
1017
1018
1019
1020
1021
1022
1023
1024
1025
1026
1027
1028
1029
1030
1031
1032
1033
1034
1035
1036
1037
1038
1039
1040
1041
1042
1043
1044
1045
1046
1047
1048
1049
1050
1051
1052
1053
1054
1055
1056
1057
1058
1059
1060
1061
1062
1063
1064
1065
1066
1067
1068
1069
1070
1071
1072
1073
1074
1075
1076
1077
1078
1079
1080
1081
1082
1083
1084
1085
1086
1087
1088
1089
1090
1091
1092
1093
1094
1095
1096
1097
1098
1099
1100
1101
1102
1103
1104
1105
1106
1107
1108
1109
1110
1111
1112
1113
1114
1115
1116
1117
1118
1119
1120
1121
1122
1123
1124
1125
1126
1127
1128
1129
1130
1131
1132
1133
1134
1135
1136
1137
1138
1139
1140
1141
1142
1143
1144
1145
1146
1147
1148
1149
1150
1151
1152
1153
1154
1155
1156
1157
1158
1159
1160
1161
1162
1163
1164
1165
1166
1167
1168
1169
1170
1171
1172
1173
1174
1175
1176
1177
1178
1179
1180
1181
1182
1183
1184
1185
1186
1187
1188
1189
1190
1191
1192
1193
1194
1195
1196
1197
1198
1199
1200
1201
1202
1203
1204
1205
1206
1207
1208
1209
1210
1211
1212
1213
1214
1215
1216
1217
1218
1219
1220
1221
1222
1223
1224
1225
1226
1227
1228
1229
1230
1231
1232
1233
1234
1235
1236
1237
1238
1239
1240
1241
1242
1243
1244
1245
1246
1247
1248
1249
1250
1251
1252
1253
1254
1255
1256
1257
1258
1259
1260
1261
1262
1263
1264
1265
1266
1267
1268
1269
1270
1271
1272
1273
1274
1275
1276
1277
1278
1279
1280
1281
1282
1283
1284
1285
1286
1287
1288
1289
1290
1291
1292
1293
1294
1295
1296
1297
1298
1299
1300
1301
1302
1303
1304
1305
1306
1307
1308
1309
1310
1311
1312
1313
1314
1315
1316
1317
1318
1319
1320
1321
1322
1323
1324
1325
1326
1327
1328
1329
1330
1331
1332
1333
1334
1335
1336
1337
1338
1339
1340
1341
1342
1343
1344
1345
1346
1347
1348
1349
1350
1351
1352
1353
1354
1355
1356
1357
1358
1359
1360
1361
1362
1363
1364
1365
1366
1367
1368
1369
1370
1371
1372
1373
1374
1375
1376
1377
1378
1379
1380
1381
1382
1383
1384
1385
1386
1387
1388
1389
1390
1391
1392
1393
1394
1395
1396
1397
1398
1399
1400
1401
1402
1403
1404
1405
1406
1407
1408
1409
1410
1411
1412
1413
1414
1415
1416
1417
1418
1419
1420
1421
1422
1423
1424
1425
1426
1427
1428
1429
1430
1431
1432
1433
1434
1435
1436
1437
1438
1439
1440
1441
1442
1443
1444
1445
1446
1447
1448
1449
1450
1451
1452
1453
1454
1455
1456
1457
1458
1459
1460
1461
1462
1463
1464
1465
1466
1467
1468
1469
1470
1471
1472
1473
1474
1475
1476
1477
1478
1479
1480
1481
1482
1483
1484
1485
1486
1487
1488
1489
1490
1491
1492
1493
1494
1495
1496
1497
1498
1499
1500
1501
1502
1503
1504
1505
1506
1507
1508
1509
1510
1511
1512
1513
1514
1515
1516
1517
1518
1519
1520
1521
1522
1523
1524
1525
1526
1527
1528
1529
1530
1531
1532
1533
1534
1535
1536
1537
1538
1539
1540
1541
1542
1543
1544
1545
1546
1547
1548
1549
1550
1551
1552
1553
1554
1555
1556
1557
1558
1559
1560
1561
1562
1563
1564
1565
1566
1567
1568
1569
1570
1571
1572
1573
1574
1575
1576
1577
1578
1579
1580
1581
1582
1583
1584
1585
1586
1587
1588
1589
1590
1591
1592
1593
1594
1595
1596
1597
1598
1599
1600
1601
1602
1603
1604
1605
1606
1607
1608
1609
1610
1611
1612
1613
1614
1615
1616
1617
1618
1619
1620
1621
1622
1623
1624
1625
1626
1627
1628
1629
1630
1631
1632
1633
1634
1635
1636
1637
1638
1639
1640
1641
1642
1643
1644
1645
1646
1647
1648
1649
1650
1651
1652
1653
1654
1655
1656
1657
1658
1659
1660
1661
1662
1663
1664
1665
1666
1667
1668
1669
1670
1671
1672
1673
1674
1675
1676
1677
1678
1679
1680
1681
1682
1683
1684
1685
1686
1687
1688
1689
1690
1691
1692
1693
1694
1695
1696
1697
1698
1699
1700
1701
1702
1703
1704
1705
1706
1707
1708
1709
1710
1711
1712
1713
1714
1715
1716
1717
1718
1719
1720
1721
1722
1723
1724
1725
1726
1727
1728
1729
1730
1731
1732
1733
1734
1735
1736
1737
1738
1739
1740
1741
1742
1743
1744
1745
1746
1747
1748
1749
1750
1751
1752
1753
1754
1755
1756
1757
1758
1759
1760
1761
1762
1763
1764
1765
1766
1767
1768
1769
1770
1771
1772
1773
1774
1775
1776
1777
1778
1779
1780
1781
1782
1783
1784
1785
1786
1787
1788
1789
1790
1791
1792
1793
1794
1795
1796
1797
1798
1799
1800
1801
1802
1803
1804
1805
1806
1807
1808
1809
1810
1811
1812
1813
1814
1815
1816
1817
1818
1819
1820
1821
1822
1823
1824
1825
1826
1827
1828
1829
1830
1831
1832
1833
1834
1835
1836
1837
1838
1839
1840
1841
1842
1843
1844
1845
1846
1847
1848
1849
1850
1851
1852
1853
1854
1855
1856
1857
1858
1859
1860
1861
1862
1863
1864
1865
1866
1867
1868
1869
1870
1871
1872
1873
1874
1875
1876
1877
1878
1879
1880
1881
1882
1883
1884
1885
1886
1887
1888
1889
1890
1891
1892
1893
1894
1895
1896
1897
1898
1899
1900
1901
1902
1903
1904
1905
1906
1907
1908
1909
1910
1911
1912
1913
1914
1915
1916
1917
1918
1919
1920
1921
1922
1923
1924
1925
1926
1927
1928
1929
1930
1931
1932
1933
1934
1935
1936
1937
1938
1939
1940
1941
1942
1943
1944
1945
1946
1947
1948
1949
1950
1951
1952
1953
1954
1955
1956
1957
1958
1959
1960
1961
1962
1963
1964
1965
1966
1967
1968
1969
1970
1971
1972
1973
1974
1975
1976
1977
1978
1979
1980
1981
1982
1983
1984
1985
1986
1987
1988
1989
1990
1991
1992
1993
1994
1995
1996
1997
1998
1999
2000
2001
2002
2003
2004
2005
2006
2007
2008
2009
2010
2011
2012
2013
2014
2015
2016
2017
2018
2019
2020
2021
2022
2023
2024
2025
2026
2027
2028
2029
2030
2031
2032
2033
2034
2035
2036
2037
2038
2039
2040
2041
2042
2043
2044
2045
2046
2047
2048
2049
2050
2051
2052
2053
2054
2055
2056
2057
2058
2059
2060
2061
2062
2063
2064
2065
2066
2067
2068
2069
2070
2071
2072
2073
2074
2075
2076
2077
2078
2079
2080
2081
2082
2083
2084
2085
2086
2087
2088
2089
2090
2091
2092
2093
2094
2095
2096
2097
2098
2099
2100
2101
2102
2103
2104
2105
2106
2107
2108
2109
2110
2111
2112
2113
2114
2115
2116
2117
2118
2119
2120
2121
2122
2123
2124
2125
2126
2127
2128
2129
2130
2131
2132
2133
2134
2135
2136
2137
2138
2139
2140
2141
2142
2143
2144
2145
2146
2147
2148
2149
2150
2151
2152
2153
2154
2155
2156
2157
2158
2159
2160
2161
2162
2163
2164
2165
2166
2167
2168
2169
2170
2171
2172
2173
2174
2175
2176
2177
2178
2179
2180
2181
2182
2183
2184
2185
2186
2187
2188
2189
2190
2191
2192
2193
2194
2195
2196
2197
2198
2199
2200
2201
2202
2203
2204
2205
2206
2207
2208
2209
2210
2211
2212
2213
2214
2215
2216
2217
2218
2219
2220
2221
2222
2223
2224
2225
2226
2227
2228
2229
2230
2231
2232
2233
2234
2235
2236
2237
2238
2239
2240
2241
2242
2243
2244
2245
2246
2247
2248
2249
2250
2251
2252
2253
2254
2255
2256
2257
2258
2259
2260
2261
2262
2263
2264
2265
2266
2267
2268
2269
2270
2271
2272
2273
2274
2275
2276
2277
2278
2279
2280
2281
2282
2283
2284
2285
2286
2287
2288
2289
2290
2291
2292
2293
2294
2295
2296
2297
2298
2299
2300
2301
2302
2303
2304
2305
2306
2307
2308
2309
2310
2311
2312
2313
2314
2315
2316
2317
2318
2319
2320
2321
2322
2323
2324
2325
2326
2327
2328
2329
2330
2331
2332
2333
2334
2335
2336
2337
2338
2339
2340
2341
2342
2343
2344
2345
2346
2347
2348
2349
2350
2351
2352
2353
2354
2355
2356
2357
2358
2359
2360
2361
2362
2363
2364
2365
2366
2367
2368
2369
2370
2371
2372
2373
2374
2375
2376
2377
2378
2379
2380
2381
2382
2383
2384
2385
2386
2387
2388
2389
2390
2391
2392
2393
2394
2395
2396
2397
2398
2399
2400
2401
2402
2403
2404
2405
2406
2407
2408
2409
2410
2411
2412
2413
2414
2415
2416
2417
2418
2419
2420
2421
2422
2423
2424
2425
2426
2427
2428
2429
2430
2431
2432
2433
2434
2435
2436
2437
2438
2439
2440
2441
2442
2443
2444
2445
2446
2447
2448
2449
2450
2451
2452
2453
2454
2455
2456
2457
2458
2459
2460
2461
2462
2463
2464
2465
2466
2467
2468
2469
2470
2471
2472
2473
2474
2475
2476
2477
2478
2479
2480
2481
2482
2483
2484
2485
2486
2487
2488
2489
2490
2491
2492
2493
2494
2495
2496
2497
2498
2499
2500
2501
2502
2503
2504
2505
2506
2507
2508
2509
2510
2511
2512
2513
2514
2515
2516
2517
2518
2519
2520
2521
2522
2523
2524
2525
2526
2527
2528
2529
2530
2531
2532
2533
2534
2535
2536
2537
2538
2539
2540
2541
2542
2543
2544
2545
2546
2547
2548
2549
2550
2551
2552
2553
2554
2555
2556
2557
2558
2559
2560
2561
2562
2563
2564
2565
2566
2567
2568
2569
2570
2571
2572
2573
2574
2575
2576
2577
2578
2579
2580
2581
2582
2583
2584
2585
2586
2587
2588
2589
2590
2591
2592
2593
2594
2595
2596
2597
2598
2599
2600
2601
2602
2603
2604
2605
2606
2607
2608
2609
2610
2611
2612
2613
2614
2615
2616
2617
2618
2619
2620
2621
2622
2623
2624
2625
2626
2627
2628
2629
2630
2631
2632
2633
2634
2635
2636
2637

```

```

selected_data ];
19     if (cambios_longitud(i)==1&i==1)|(cambios_longitud
(1:i-1)==0&cambios_longitud(i)==1)
20     [T,K,b,vectorTK]=calibracion(datos_para_calibrar);
21     principio_calibrado=T*K*datos(1:3,
matriz_intervalo_estatico(1,1):
matriz_intervalo_estatico(i,2))...
22     - (diag(b)*ones(3,length(a_xp(
matriz_intervalo_estatico(1,1):
matriz_intervalo_estatico(i,2)))));
23     last_calibrado = i+1;
24     datos_para_calibrar = [];
25     todo_calibrado=[todo_calibrado,
principio_calibrado];
26     parametros=[parametros, vectorTK];
27
28     elseif (cambios_longitud(i)==1&i>1)&(sum(
cambios_longitud(1:i-1))>0)
29     T anterior=T;
30     K anterior=K;
31     b anterior=b;
32     fin_calibracion = i+1;
33     [T,K,b,vectorTK]=calibracion(datos_para_calibrar)
;
34     centro_calibrado=(T anterior*K anterior+T*K)/2*
datos(1:3,matriz_intervalo_estatico(last_calibrado
-1,2):matriz_intervalo_estatico(last_calibrado,1))
...
35     - (diag((b+banterior)/2)*ones(3,length(a_xp(
matriz_intervalo_estatico(last_calibrado-1,2):
matriz_intervalo_estatico(last_calibrado,1)))));
36     bloques_calibrados=T*K*datos(1:3,
matriz_intervalo_estatico(last_calibrado,1):
matriz_intervalo_estatico(fin_calibracion-1,2))...
37     - (diag(b)*ones(3,length(a_xp(
matriz_intervalo_estatico(last_calibrado,1):
matriz_intervalo_estatico(fin_calibracion-1,2)))));
38
39     datos_para_calibrar = [];
40     last_calibrado = fin_calibracion;
41     todo_calibrado=[todo_calibrado,centro_calibrado,

```

A.1. CALIBRACIÓN DEL ACELERÓMETRO Y DEL GIROSCOPIO 67

```

    bloques_calibrados ];
42     parametros=[parametros ,vectorTK ];
43
44     end
45
46     end
47
48     if (cambios_longitud(1:(length(cambios_longitud)))==0)
49         [T,K,b,vectorTK]=calibracion(datos_para_calibrar);
50         todo_calibrado=T*K*datos(1:3,1:length(a_xp))-(diag(
51             b)*ones(3,length(a_xp)));
52         parametros=[parametros ,vectorTK ];
53     else
54         [T,K,b,vectorTK]=calibracion(datos_para_calibrar);
55         final_calibrado=T*K*datos(1:3,
56             matriz_intervalo_estatico(last_calibrado-1,2):
57             length(a_xp))...
58             -(diag(b)*ones(3,length(a_xp)(
59                 matriz_intervalo_estatico(last_calibrado-1,2):
60                 length(a_xp)))));
61         todo_calibrado=[todo_calibrado ,final_calibrado ];
62         parametros=[parametros ,vectorTK ];
63     end
64
65     figure(1)
66     hold on
67     plot(sqrt(todo_calibrado(1,:).^2+todo_calibrado(2,:).^2+
68         todo_calibrado(3,:).^2), 'red')
69     plot(sqrt(datos(1,:).^2+datos(2,:).^2+datos(3,:).^2))
70     hold off
71     title('Datos_calibrados_y_sin_calibrar')
72
73     %%% %%% CALIBRACIÓN GIROSCOPIO %%% %%%
74
75     omega_x = datos(4,:);
76     omega_y= datos(5,:);
77     omega_z= datos(6,:);
78     omega_x_estatico = [];
79     omega_y_estatico = [];
80     omega_z_estatico = [];

```

```

75
76
77 omega_x_estatico= omega_x(matriz_intervalo_estatico
    (1,1):matriz_intervalo_estatico(1,2));
78 omega_y_estatico= omega_y(matriz_intervalo_estatico
    (1,1):matriz_intervalo_estatico(2,1));
79 omega_z_estatico= omega_z(matriz_intervalo_estatico
    (1,1):matriz_intervalo_estatico(2,1));
80
81
82 estimate_bias_x=mean(omega_x_estatico);
83 estimate_bias_y=mean(omega_y_estatico);
84 estimate_bias_z=mean(omega_z_estatico);
85
86 omega_x = omega_x - estimate_bias_x; %Quita el error de
    bias
87 omega_y = omega_y - estimate_bias_y;
88 omega_z = omega_z - estimate_bias_z;
89
90 signal=[todo_calibrado(1,:);todo_calibrado(2,:);
    todo_calibrado(3,:)];
91 matriz_info_giro=matrizgiro(matriz_intervalo_estatico,
    signal);
92
93 [Tgiro,Kgiro]=calibraciongirofmin(matriz_info_giro,
    omega_x,omega_y,omega_z)
94
95
96 giro_calibrado=Tgiro*Kgiro*[omega_x;omega_y;omega_z];
97 giro_parado=[];
98 for i=1:length(matriz_info_giro(1,:))
99     giro=[omega_x(matriz_info_giro(1,i):
    matriz_info_giro(2,i));omega_y(matriz_info_giro(1,i)
    :matriz_info_giro(2,i));omega_z(matriz_info_giro(1,i)
    :matriz_info_giro(2,i))];
100     giro_parado=[giro_parado,giro];
101 end
102 giro_parado_calibrado=Tgiro*Kgiro*giro_parado;
103
104 figure(3)
105 plot(sqrt(giro_parado(1,:).^2+giro_parado(2,:).^2+

```

```

    giro_parado(3,:).^2))
106 title('Datos_giroscopio_sin_calibrar')
107 figure(4)
108 plot(sqrt(giro_parado_calibrado(1,:).^2+
    giro_parado_calibrado(2,:).^2+giro_parado_calibrado
    (3,:).^2))
109 title('Datos_giroscopio_calibrados')

```

A.1.1. Funciones necesarias para la calibración del acelerómetro

```

1  %%%%%FUNCIÓN DETECTOR DE PERIODOS ESTÁTICOS Y
    BÚSQUEDA DE SIMILITUDES %%%%%
2
3  function [matriz_intervalo_estatico ,cambios_longitud]=
    detector(a_xp,a_yp,a_zp,total_sample)
4
5  var_3D = (var(a_xp(50:300))^2 + var(a_yp(50:300))^2 +
    var(a_zp(50:300))^2);
6
7  w_d = 101;
8  normal_x = zeros(1, total_sample);
9  normal_y = zeros(1, total_sample);
10 normal_z = zeros(1, total_sample);
11
12 half_w_d = floor(w_d/2);
13
14 for i = (half_w_d + 1):total_sample - (half_w_d + 1)
15
16     normal_x(i) = var(a_xp(i - half_w_d:i + half_w_d));
17     normal_y(i) = var(a_yp(i - half_w_d:i + half_w_d));
18     normal_z(i) = var(a_zp(i - half_w_d:i + half_w_d));
19
20 end
21
22 s_square = (normal_x.^2 + normal_y.^2 + normal_z.^2);
23
24 filter = zeros(1, total_sample);
25
26 multiplicador= 2;
27

```

```

28 for i = half_w_d:total_sample - (half_w_d + 1)
29
30     if s_square(i) < multiplicador*var_3D
31
32         filter(i) = 1;
33
34     end
35
36 end
37
38     k = 1;
39     matriz = zeros(1,3);
40     samples = 0;
41     start = 0;
42
43
44
45     if filter(1) == 1
46         start = 1;
47
48     end
49
50
51     for i = 2:length(filter)
52
53         if filter(i-1) == 0 && filter(i) == 0
54
55
56         elseif filter(i-1) == 1 && filter(i) == 1
57
58             samples = samples + 1;
59
60         elseif filter(i-1) == 1 && filter(i) == 0
61
62             matriz(k,:) = [start, i - 1, samples];
63
64             k= k + 1;
65
66         elseif filter(i-1) == 0 && filter(i) == 1
67
68             start = i;

```

```

69         samples = 1;
70
71     end
72
73     end
74     v= find( matriz(:,3) >=100);
75     matriz_intervalo_estatico(:,:)=matriz(v,:);
76
77     for i=1:(length(matriz_intervalo_estatico(:,1)))
78         datos_parados_x(i)=mean(a_xp(
79             matriz_intervalo_estatico(i,1):
80             matriz_intervalo_estatico(i,2)));
81         datos_parados_y(i)=mean(a_yp(
82             matriz_intervalo_estatico(i,1):
83             matriz_intervalo_estatico(i,2)));
84         datos_parados_z(i)=mean(a_zp(
85             matriz_intervalo_estatico(i,1):
86             matriz_intervalo_estatico(i,2)));
87         modulo_bloque(i)=sqrt(datos_parados_x(i)^2+
88             datos_parados_y(i)^2+datos_parados_z(i)^2);
89     end
90
91     cambios_longitud=(abs(diff(modulo_bloque))>0.01);
92     figure(2)
93     plot(sqrt(a_xp.^2+a_yp.^2+a_zp.^2))
94     hold on
95     for i=1:(length(matriz_intervalo_estatico(:,1)))
96         plot(matriz_intervalo_estatico(i,1):
97             matriz_intervalo_estatico(i,2),...
98             (sqrt(a_xp(matriz_intervalo_estatico(i,1):
99                 matriz_intervalo_estatico(i,2)).^2+...
100                 a_yp(matriz_intervalo_estatico(i,1):
101                     matriz_intervalo_estatico(i,2)).^2+...
102                 a_zp(matriz_intervalo_estatico(i,1):
103                     matriz_intervalo_estatico(i,2)).^2)), 'r')
104     end
105     title('Detección_bloques_estáticos')
106     hold off

```

```

1 %%% %FUNCIÓN DE SELECCIÓN DE DATOS %%% %

```

```

2 function selected_data=seleccion(num_bloques,signal,
   matriz_intervalo_estatico)
3
4     selected_data = zeros(3, 1);
5     k = 1;
6     long_bloque=100;
7
8         selection_step = floor(
matriz_intervalo_estatico(num_bloques,3)/long_bloque
);
9         for i = 1:(long_bloque - 1)
10             selected_data(1:3, k) = signal(1:3,
matriz_intervalo_estatico(num_bloques, 1) + (i - 1)*
selection_step);
11             k= k + 1;
12
13         end

1  %%% %%% FUNCIÓN DE MINIMIZACIÓN DEL ACELERÓMETRO,
   OBTENCIÓN DE PARÁMETROS %%% %%%
2 function [T,K,b,vectorTK]=calibracion(selected_data)
3     datosmedia=zeros(3, floor(length(selected_data(1,:))
/10)-1);
4
5     for k=1:floor(length(selected_data(1,:))/10)
6         datosmedia(1,k)=mean(selected_data(1,10*(k-1)
+1:10*(k-1)+10));
7         datosmedia(2,k)=mean(selected_data(2,10*(k-1)
+1:10*(k-1)+10));
8         datosmedia(3,k)=mean(selected_data(3,10*(k-1)
+1:10*(k-1)+10));
9     end
10
11 theta_pr = [0, 0, 0,1,1,1, 0, 0, 0];
12
13
14     ObjectiveFunction = @(theta) accCostFuncLSQNONLIN2
(theta, datosmedia);
15     % options = optimset('MaxFunEvals', 150000, 'MaxIter
', 6000, 'TolFun', 10^(-10));
16     options = optimset('MaxFunEvals', 150000, 'MaxIter'

```

```

    , 6000, 'TolFun', 10^(-10), 'Algorithm', {'levenberg-
    marquardt', .005});
17     % Algoritmo de minimizacion:
18
19     [theta_pr, rsnorm] = lsqnonlin(ObjectiveFunction,
    theta_pr, [], [], options);
20
21     T = [1, -theta_pr(1), theta_pr(2); 0, 1, -theta_pr(3)
    ; 0, 0, 1];
22     K = diag([theta_pr(4) , theta_pr(5) , theta_pr(6) ]);
23     b = [theta_pr(7); theta_pr(8); theta_pr(9)];
24
25     vectorTK=theta_pr';

1  %%%%%%%%%FUNCIÓN OBJETIVO DEL ACELERÓMETRO %%%%%%%%%
2
3  function [ res_vector ] = accCostFuncLSQNONLIN2( E,
    a_hat )
4
5  misalignmentMatrix = [1, -E(1), E(2); 0, 1, -E(3); 0,
    0, 1];
6  scalingMtrix = diag([E(4) , E(5) , E(6) ]);
7
8  a_bar = misalignmentMatrix*scalingMtrix*(a_hat) - (diag
    ([E(7), E(8), E(9)])*ones(3, length(a_hat)));
9
10 magnitude = 1;
11
12 residuals = zeros(length(a_bar(1,:)), 1);
13
14 for i = 1:length(a_bar(1,:))
15     residuals(i,1) = magnitude^2 - (a_bar(1,i)^2 +
    a_bar(2,i)^2 + a_bar(3,i)^2);
16 end
17
18 res_vector = residuals.^2+0.061*(E(1)^2+E(2)^2+E(3)^2+(
    E(4)-1)^2+(E(5)-1)^2+(E(6)-1)^2+E(7)^2+E(8)^2+E(9)
    ^2);
19
20 end

```

A.1.2. Funciones necesarias para la calibración del giroscopio

```

1  %%%SELECCIÓN DE DATOS DEL GIROSCOPIO %%%
2  function matriz_info_giro=matrizgiro(
3      matriz_intervalo_estatico , signal)
4  selected_data = zeros(3, 1);
5  qsTime = 1;
6  sample_period = 0.01;
7  num_samples = qsTime/sample_period;
8
9  k = 1;
10 matriz=matriz_intervalo_estatico';
11 for g = 1:length(matriz(1,:))
12     selected_acc_data = zeros(3,1);
13     selection_step = floor(matriz(3,g)/num_samples);
14
15     for i = 1:(num_samples - 1)
16
17         selected_acc_data(1:3, i) = signal(1:3, matriz
18             (1, g) + (i - 1)*selection_step);
19
20     end
21
22     selected_data(1:3, num_samples) = signal(1:3,
23         matriz(2, g));
24     matriz_info_giro(4:6, k) = mean(selected_acc_data,
25         2);
26     k = k + 1;
27 end
28 matriz_info_giro(1:3, :)=matriz;
29
30 %%%FUNCIÓN DE MINIMIZACIÓN DEL GIROSCOPIO,
31 OBTENCIÓN DE PARÁMETROS %%%
32 function [Tgiro, Kgiro]=calibraciongirofmin(
33     matriz_info_giro , omega_x, omega_y, omega_z)
34

```

```

5  parametros.matriz=matriz_info_giro;
6  parametros.x=omega_x;
7  parametros.y=omega_y;
8  parametros.z=omega_z;
9
10 theta_pr_gyro = [1,0,0,0,1,0,0,0,1];
11 funcionmin=@(x,parametros) gyroCostfmin(x,parametros.
    matriz,parametros.x,parametros.y,parametros.z)
12
13 theta_pr_gyro=fminsearch(funcionmin,theta_pr_gyro,[],
    parametros);
14
15 Tgiro = [1, theta_pr_gyro(2), theta_pr_gyro(3);
    theta_pr_gyro(4), 1, theta_pr_gyro(6); theta_pr_gyro
    (7), theta_pr_gyro(8), 1];
16 Kgiro = [theta_pr_gyro(1), 0, 0; 0, theta_pr_gyro(5),
    0; 0, 0, theta_pr_gyro(9)];

1
2  %%%%%%%%%FUNCIÓN OBJETIVO DEL GIROSCOPIO %%%%%%%%%
3  function [res_vector] = gyroCostfmin(x,
    QS_time_interval_info_matrix, omega_x_hat,
    omega_y_hat, omega_z_hat)
4
5  omega_hat = [omega_x_hat; omega_y_hat; omega_z_hat];
6
7  misalignmentMatrix = [1, x(2), x(3); x(4), 1, x(6); x
    (7), x(8), 1];
8  scalingMatrix = diag([x(1), x(5), x(9)]);
9
10 omega_bar = misalignmentMatrix*scalingMatrix*omega_hat;
11
12 omega_x = omega_bar(1,:);
13 omega_y = omega_bar(2,:);
14 omega_z = omega_bar(3,:);
15
16 vector = zeros(3,5);
17
18 for pr = 1: size(QS_time_interval_info_matrix, 2) - 1
19
20     vector((pr-1)*3 + 1:(pr)*3, 1) =

```

```

    QS_time_interval_info_matrix(4:6,pr);
21   vector((pr-1)*3 + 1:(pr)*3, 5) =
    QS_time_interval_info_matrix(4:6,pr + 1);
22   gyroUnbiasUncalibratedValues = [omega_x(
    QS_time_interval_info_matrix(2,pr) + 1:
    QS_time_interval_info_matrix(1,pr + 1) - 1); omega_y
    (QS_time_interval_info_matrix(2,pr) + 1:
    QS_time_interval_info_matrix(1,pr + 1) - 1); omega_z
    (QS_time_interval_info_matrix(2,pr) + 1:
    QS_time_interval_info_matrix(1,pr + 1) - 1)];
23   R = rotationRK4(gyroUnbiasUncalibratedValues);
24
25   vector((pr-1)*3 + 1:(pr)*3, 2:4) = R;
26
27
28 end
29
30 residuals = zeros(length(vector(:,1))/3, 1);
31
32 for i = 1:length(vector(:,1))/3
33
34     v = vector((i-1)*3 + 1:(i)*3, 5)/(vector((i-1)*3 +
    1, 5)^2 + vector((i-1)*3 + 2, 5)^2 + vector((i)*3,
    5)^2)^(1/2) - vector((i-1)*3 + 1:(i)*3, 2:4)*vector
    ((i-1)*3 + 1:(i)*3, 1)/(vector((i-1)*3 + 1, 5)^2 +
    vector((i-1)*3 + 2, 5)^2 + vector((i)*3, 5)^2)^(1/2)
    ;
35
36     v = v';
37     residuals(i,1) = (v(1)^2 + v(2)^2 + v(3)^2);
38
39
40 end
41 residuals= sum(residuals);
42 res_vector = residuals+((x(1)-1)^2+x(2)^2+x(3)^2+(x(5)
    -1)^2+(x(5)-1)^2+x(6)^2+x(7)^2+x(8)^2+(x(9)-1)^2);
43 end
1  %%% %%% FUNCIÓN PARA TRANSFORMAR EL VECTOR VELOCIDAD
    ANGULAR A CUTARNIÓN %%% %%%
2  function [ q, angularRotation, direction ] =

```

```

    fromOmegaToQ( omega , intervals )
3
4 direction = zeros(3,1);
5 q = zeros(1,4);
6 angularRotation = (omega(1)^2 + omega(2)^2 + omega(3)
    ^2)^(1/2)*intervals;
7 direction(:,1) = omega(:,1)*(intervals/angularRotation
    );
8 dir = direction(:,1)';
9 q(1,:) = [cos(angularRotation/2), sin(angularRotation
    /2)*dir];
10
11 end

1 %%%%%ALGORITMO DE INTRGRACIÓN RUNGE-KUTTA DE CUARTO
  ORDEN %%%%%%
2
3 function [ R ] = rotationRK4( omega )
4
5
6 dt = 0.01;
7
8 omega_x = omega(1,:);
9 omega_y = omega(2,:);
10 omega_z = omega(3,:);
11
12 num_samples = length(omega_x);
13
14 q_k = fromOmegaToQ([omega_x(1); omega_y(1); omega_z(1)
    ], [0.01])';
15 q_next_k = [0; 0; 0; 0];
16
17 for i = 1:num_samples - 1
18
19     % first Runge-Kutta coefficient
20     q_i_1 = q_k;
21     OMEGA_omega_t_k = ...
22     [0          -omega_x(i)  -omega_y(i)  -omega_z
    (i)];
23     omega_x(i)    0          omega_z(i)  -omega_y
    (i);

```

```

24         omega_y(i)   -omega_z(i)   0           omega_x(
i);
25         omega_z(i)   omega_y(i)   -omega_x(i)   0
        ];
26     k_1 = (1/2)*OMEGA_omega_t_k*q_i_1;
27
28     % second Runge-Kutta coefficient
29     q_i_2 = q_k + dt*(1/2)*k_1;
30     OMEGA_omega_t_k_plus_half_dt = ...
31         [0           -(omega_x(i)
+ omega_x(i + 1))/2   -(omega_y(i) + omega_y(i + 1))
/2   -(omega_z(i) + omega_z(i + 1))/2;
32         (omega_x(i) + omega_x(i + 1))/2   0
           (omega_z(i) + omega_z(i + 1))
/2   -(omega_y(i) + omega_y(i + 1))/2;
33         (omega_y(i) + omega_y(i + 1))/2   -(omega_z(i)
+ omega_z(i + 1))/2   0
           (omega_x(i) + omega_x(i + 1))/2;
34         (omega_z(i) + omega_z(i + 1))/2   (omega_y(i) +
omega_y(i + 1))/2   -(omega_x(i) + omega_x(i + 1))
/2   0           ];
35     k_2 = (1/2)*OMEGA_omega_t_k_plus_half_dt*q_i_2;
36
37     % third Runge-Kutta coefficient
38     q_i_3 = q_k + dt*(1/2)*k_2;
39     OMEGA_omega_t_k_plus_half_dt = ...
40         [0           -(omega_x(i)
+ omega_x(i + 1))/2   -(omega_y(i) + omega_y(i + 1))
/2   -(omega_z(i) + omega_z(i + 1))/2;
41         (omega_x(i) + omega_x(i + 1))/2   0
           (omega_z(i) + omega_z(i + 1))
/2   -(omega_y(i) + omega_y(i + 1))/2;
42         (omega_y(i) + omega_y(i + 1))/2   -(omega_z(i)
+ omega_z(i + 1))/2   0
           (omega_x(i) + omega_x(i + 1))/2;
43         (omega_z(i) + omega_z(i + 1))/2   (omega_y(i) +
omega_y(i + 1))/2   -(omega_x(i) + omega_x(i + 1))
/2   0           ];
44     k_3 = (1/2)*OMEGA_omega_t_k_plus_half_dt*q_i_3;
45
46     % forth Runge-Kutta coefficient

```

```

47     q_i_4 = q_k + dt*1*k_3;
48     OMEGA_omega_t_k_plus_dt = ...
49     [0                -omega_x(i + 1)  -omega_y(i +
1)  -omega_z(i + 1);
50     omega_x(i + 1)    0                omega_z(i +
1)  -omega_y(i + 1);
51     omega_y(i + 1)    -omega_z(i + 1)  0
omega_x(i + 1);
52     omega_z(i + 1)    omega_y(i + 1)   -omega_x(i +
1)  0                ];
53     k_4 = (1/2)*OMEGA_omega_t_k_plus_dt*q_i_4;
54
55     q_next_k = q_k + dt*((1/6)*k_1 + (1/3)*k_2 + (1/3)*
k_3 + (1/6)*k_4);
56
57     q_next_k = q_next_k/norm(q_next_k);
58
59     q_k = q_next_k;
60
61 end
62
63 R = fromQtoR(q_next_k);
64
65 end

1  %%% %FUNCIÓN PARA CONSTRUIR LA MATRIZ DE ROTACIÓN
   %%% %
2
3  function [R] = fromQtoR(q)
4
5  r_11 = q(1)^2 + q(2)^2 - q(3)^2 - q(4)^2;
6  r_12 = 2*(q(2)*q(3) - q(1)*q(4));
7  r_13 = 2*(q(2)*q(4) + q(1)*q(3));
8  r_21 = 2*(q(2)*q(3) + q(1)*q(4));
9  r_22 = q(1)^2 - q(2)^2 + q(3)^2 - q(4)^2;
10 r_23 = 2*(q(3)*q(4) - q(1)*q(2));
11 r_31 = 2*(q(2)*q(4) - q(1)*q(3));
12 r_32 = 2*(q(3)*q(4) + q(1)*q(2));
13 r_33 = q(1)^2 - q(2)^2 - q(3)^2 + q(4)^2;
14
15 R = [r_11, r_12, r_13; r_21, r_22, r_23; r_31, r_32,

```

```
    r_33 ];  
16  
17 end
```

Bibliografía

- [1] Christopher Jekeli. *Inertial Navigation Systems with Geodetic Applications*. Walter de Gruyter, 2001.
- [2] Rodrigo Iván Paredes Portador, Vicente Capistrán Gómez. *Tesis: Diagnóstico de condiciones de operación de rodamientos en máquinas usando espectros de alto orden*.
- [3] Jay Esfandyari, Roberto De Nuccio, Gang Xu, «Introduction to MEMS gyroscopes», Blog de la revista «Sold State Technology», entrada del 15/11/2010, url: <http://electroiq.com/blog/2010/11/introduction-to-mems-gyroscopes/>
- [4] Matej Andrejašič, Igor Poberaj. *Seminar: Memes Accelerometers*. University of Ljubljana.
- [5] David Retana Pérez, Aldo Enrique Vargas. *Tesis: Estabilización de un helicóptero a escala mediante sistemas neuro-difusos*.
- [6] «Efecto Coriolis», artículo de Wikipedia, url: http://es.wikipedia.org/wiki/Efecto_Coriolis
- [7] «¿Por qué no sopla el viento desde una zona de Alta Presión hacia una de Baja Presión?», artículo online, url: http://www.fondear.org/infonautic/mar/Meteo/Presion_AltaBaja/Presion_AltaBaja.htm
- [8] Oliver J. Woodman. *An introduction to inertial navigation*. Artículo técnico publicado por la Universidad de Cambridge, 2007.
- [9] Alberto Pretto, David Tedaldi, Emanuele Menegatti. *A Robust and Easy to Implement Method for IMU calibration without External Equipments*. Robotics and Automation (ICRA), IEEE International Conference, 3042 - 3049, 2014 .

- [10] S. Bonnet, C. Bassompierre, C. Godin, S. Lesecq, A. Barraud. *Calibration methods for inertial and magnetic sensors*. Sensors and Actuators A: Physical, Vol.156,302-311 2009.
- [11] J. C. Lötters, J. Schipper, P:H Veltink, W. Olthuis, P. Bergveld. *Procedure for in-use calibration of triaxial accelerometers in medical applications*. Sensor and Actuators, Vol. 68, n°1, 221-228. 1998.
- [12] C.Nee, S.K.Ong, W.T.Fong. *Methods for in-field user calibration of an inertial measurement unit without external equipment*. Measurement Science and Technology, Vol. 19, n° 8, 2008.
- [13] Isaac Skog, Peter Händel. *Calibration of a MEMs inertial measurement unit*. XVII Imeko World Congress.2006.
- [14] Kenneth.R Britting, *Inertial navigation systems analysis*. ARTECH HOUSE, 2010.
- [15] Matthew T.Mason. *Lecture 7. Quaternions*. Mechanics of Manipulation Spring 2012.
- [16] «Rotaciones y cuaternios»
url: [http : //tesis.uson.mx/digital/tesis/docs/21070/Capitulo4.pdf](http://tesis.uson.mx/digital/tesis/docs/21070/Capitulo4.pdf)
- [17] Yan-Bin Jia. *Quaternions and Rotations*. 2015.
- [18] Gregory G. Slabaugh. *Computing Euler angles from a rotation matrix*. Retrieved on August, Vol.6, n°2000, 39-63, 1999. url: [http : //thomasbeatty.com/MATH %20PAGES/ARCHIVES %20 – %20NOTES/Applied%20Math/euler %20angles.pdf](http://thomasbeatty.com/MATH%20PAGES/ARCHIVES%20-%20NOTES/Applied%20Math/euler%20angles.pdf)
- [19] Hansen, Per Christian. *Regularization tools: A Matlab package for analysis and solution of discrete ill-posed problems*. Numerical algorithms, Vol. 6, n° 1, 1-35, 1994 .
- [20] Darío Ramos López. *Tesis: Modelado matemático en óptica biomédica y oftalmológica*. 2014.
- [21] Marten Gulliksson, Per Ake Wedin. *Optimization Tools for Tikhonov Regularization of Nonlinear Equations Using the L-Curve and its Dual*.Methods and Applications of Inversion. Springer Berlin Heidelberg, 155-170, 2000.
- [22] Codela Scherer, Per Christian Hansen, Víctor Pereyra. *Least Squares Data Fitting with Applications*.The Johns Hopkins University Press, 2013.

- [23] Wenyu Sun, Ya-Xiang Yuan. *Optimization theory and methods Nonlinear programming*. Springer Science & Business Media, 2006.
- [24] Bjoerck A., Dahlquist G. *Numerical mathematics and scientific computation*. Philadelphia: SIAM, 2003.
- [25] Fracois Caron, Emmanuel Duglos, Denis Pormorski, Philippe Vanheeghe. *GPS/IMU data fusion using multisensor filtering: introduction of contextual aspects*. Information Fusion, Vol. 7, n° 2, 221-230, 2006.
- [26] Sasa Singer, John Nelder. *Scholarpedia: Nelder-Mead algorithm*.